PREDIKSI PERILAKU NONLINIER HUBUNGAN TEGANGAN REGANGAN PADA KOLOM PERSEGI DENGAN VARIASI RASIO TULANGAN MEMANJANG MENGGUNAKAN ABAQUS

OLEH YURNY MAHU 07231911103



PROGRAM STUDI TEKNIK SIPIL FAKULTAS TEKNIK UNIVERSITAS KHAIRUN 2024

PREDIKSI PERILAKU NONLINIER HUBUNGAN TEGANGAN REGANGAN PADA KOLOM PERSEGI DENGAN VARIASI RASIO TULANGAN MEMANJANG MENGGUNAKAN ABAQUS

OLEH

Nama : YURNY MAHU
NPM : 07231911103
Program Studi : Teknik Sipil

Pembimbing I : Dr. Ir Arbain Tata, ST., MT., IPM Pembimbing II : Muhammad Taufiq Y.S., ST., MT

Diajukan Guna Melengkapi Syarat

Dalam Mencapai Gelar Sarjana Strata Satu (S-1)



PROGRAM STUDI TEKNIK SIPIL FAKULTAS TEKNIK UNIVERSITAS KHAIRUN 2024

Prediksi Perilaku Nonlinier Hubungan Tegangan Regangan Pada Kolom Persegi Dengan Variasi Rasio Tulangan Memanjang Menggunakan Abagus

OLEH:

YURNY MAHU NPM: 0723 1911 103

Telah Dipertahankan Didepan Dewan Penguji Pada Tanggal 31 Juli 2024

Pembimbing Utama

Dr. Ir. Arbain Tata, ST., MT., IPM

NIP: 197712092003121002

Pembimbing Pendamping

Muhammad Taufiq Y.S., ST., MT. 197507152005011002

Mengetahui

Dekan Fakultas Tek WEBUDAN Universitas Khairun Dekan Fakultas Teknik

ST., MT., CRP

NIP: 19/7511302005011013

Koordinator Program Studi Teknik Sipil Universitas Khairun

Muhammad Taufiq Y.S., ST., MT.

NIP: 1/97507152005011002

Prediksi Perilaku Nonlinier Hubungan Tegangan Regangan Pada Kolom Persegi Dengan Variasi Rasio Tulangan Memanjang Menggunakan Abagus

OLEH:

YURNY MAHU NPM: 0723 1911 103

Telah Dipertahankan Didepan Dewan Penguji Pada Tanggal 31 Juli 2024

Susunan Dewan Penguji

Pembimbing Utama

Dr. Ir. Arbain Tata, ST., MT., IPM

NIP: 197712092003121002

Pembimbing Pendamping

Muhammad Taufiq Y.S., ST., MT.

NIP: 197507152005011002

Ketua Penguji

Prof. Dr. Ir. Mufti Amil Saltan, ST., MT., IPM

NIP: 197202272003121001

Anggota Penguji

Jr. Imrah, ST., M,Eng

NIP: 197904012005011003

Anggota Penguji

Sary Shandy, ST.MT

NIP: 1987092720201220013

Koordinator Program Studi Teknik Sipil

Muhammad Taufiq Y.S., ST.,MT.

NIP: 197507152005011002

LEMBAR PERNYATAAN KEASLIAN

Yang bertanda tangan di bawah ini,

Nama

: YURNY MAHU

NIM

: 0723 1911 103

Fakultas

: Teknik

Program Studi

: Teknik Sipil

Judul Skripsi

: PREDIKSI PERILAKU NONLINIER HUBUNGAN TEGANGAN REGANGAN

PADA KOLOM PERSEGI DENGAN VARIASI RASIO TULANGAN

MEMANJANG MENGGUNAKAN ABAQUS

Dengan ini menyatakan bahwa hasil penulisan yang telah penulis buat ini merupakan hasil karya sendiri dan benar keaslianya. Apa bila dikemudian hari penulisan tugas akhir ini merupakan hasil plagiat atau penjiplakan terhadap karya orang lain, maka penulis bersedia mempertanggung jawabkan sekaligus bersedia menerima sanksi berdasarkan aturan tata tertib di Universitas Khairun.

Demikian Pernyataan ini penulis buat dalam keadaan sadar dan tidak dipaksakan

Penulis,

METERAI TEMPEL B05ALX302112701

YURNY MAHU

PERSEMBAHAN

Dengan mengucapkan syukur alhamdulillah kepada Allah Subhanallahu Wa Ta'ala kupersembahkan skripsi ini untuk orang-orang yang kusayangi.

- 1. Teruntuk ayah dan ibunda tercinta yang senantiasa mengasihi dan mendoakan dengan segala ketulusan juga pengorbanan hingga selalu berhasil menambah rasa kasih dan sayang ini terhadap kalian, sebab itu selalu ingin menjadi alasan kebahagiaan kalian yang berhak mendapatkannya adalah harapan besarku.
- 2. Teruntuk kakak dan adik tersayang yang selalu menjadi kilau dalam hariku dengan segala cerita indah yang tertulis selalu di hati.
- 3. Teruntuk teman-teman yang selalu menemani dan memberikan semangat kepadaku.

Moto

" Dan Dia mendapatimu sebagai orang yang bingung, lalu Dia membarikan petunjuk"

(Q.S Ad-Duha:7)

"Bermimpilah setinggi langit lalu kembali sujud serendah tanah sebab KITA pasti masuk di dalamnya"

(Yurny Mahu)

KATA PENGANTAR

Puji syukur kehadirat Allah SWT, sebagaimana Ia telah memberikan nikmat kesehatan, kesempatan serta atas segala limpahan Rahmat dan Hidayah-Nya serta Karunia-Nya sehingga penulis dapat menyelesaikan penulisan Skripsi dengan judul "PREDIKSI PERILAKU HUBUNGAN TEGANGAN REGANGAN DENGAN VARIASI RASIO TULANGAN MEMANJANG PADA KOLOM PERSEGI DENGAN MENGGUNAKAN ABAQUS". Pada penulisan skripsi ini penulis harapkan mampu memberikan tambahan pengetahuan tentang efek dari variasi rasio tulangan memanjang pada kolom persegi menggunakan Finnite Element method (FEM). Terselesaikan penulisan skripsi ini tidak lepas dari bantuan dan dorongan dari berbagai pihak, sehingga penulis mengucapkan terimakasih sebesar-besarnya kepada semua yang terlibat dalam penulisan ini.

- 1. Bapak Dr. Ridha Ajam, ST., MT. Selaku Rektor Universitas Khairun Ternate.
- Bapak Ir. Endah Harisun, ST., MT., CRP Selaku Dekan Fakultas Teknik Universitas Khairun Ternate.
- Bapak Muhammad Taufiq Yuda Saputra, ST., MT. Selaku Koordinator Prodi
 Teknik Sipil Fakultas Teknik Universitas Khairun Ternate.
- 4. Bapak Dr. Arbain Tata, ST., MT., IPM selaku dosen pembimbing utama dan sebagai penggagas dari pada munculnya judul yang kemudian penulis kembangkan menjadi sebuah skripsi, serta kepada Taufiq Yuda Saputra, ST., MT sebagai pembimbing pendamping atas petunjuk, arahan, serta bimbingannya dalam penulisan skripsi ini.
- 5. Bapak Prof. Dr. Ir. Mufti Amir Sultan, ST., MT., IPM selaku ketua Penguj, Ir. Imran ST., M.Eng selaku anggota penguji I dan Sary Shandy, ST., MT selaku anggota

- penguji II. Atas saran yang telah diberikan sehingga penulis dapat mengembangkan penulisan skripsi ini.
- 6. Bapak Dr. Ir. Abdul gaus, ST., MT., IPM selaku penasehat akademik yang telah memberikan arahan, nasehat serta bimbingan selama perkuliahan,
- 7. Seluruh dosen Program Studi Teknik Sipil Universitas Khairun yang telah memberikan banyak ilmu selama perkuliahan.
- 8. Terimakasih yang setulus-tulusnya kepada kedua orangtua penulis Ayahanda Abdullah Mahu dan Ibunda Miti Lumbessy sebagai sumber kehidupan penulis yang telah mencurahkan segenap cinta dan kasih sayang dalam mendidik penulis, dan dengan penuh kesabaran dan kerelaan untuk tetap memberikan kepercayaan kepada penulis dalam usaha menggapai cita-cita. Adik saya M Sardi Mahu dan Kakak sarni mahu Amd, Kep, serta suaminya Humaidi A Yamani yang tiada henti-hentinya terus memberikan semangat dan dukungan kepada penulis. Semoga Allah SWT senantiasa memberikan Rahmat, Kesehatan, Keberkahan kepada kalian.
- Terimakasih kepada seluruh keluarga penulis yang telah membantu penulis dalam menempuh pendidikan tinggi di Universitas Khairun Ternate.
- 10. Terimakasih kepada teman-teman terbaik Riwanda i. Husen, ST, Safirah Afriati A.M, Diansari Safitri L, yang selalu memberikan dukungan dan semangat untuk penulis.
- 11. Terima kasih kepada M Abdul Walid R. Thaib yang selalu memberikan semnagat dan dukungan kepada penulis.
- 12. Saudara-saudara seperjuangan penulis, dan teman-teman angkatan 2019 terimakasih atas bantuan dan dukungan sehingga skripsi ini dapat diselesaikan.

Di dalam penulisan Skripsi ini, penulis menyadari bahwa masih terdapat banyak

kekurangan yang belum dapat penulis selesaikan. Olehnya sangat diharapkan saran dan

kritikan dari pembaca sebagai masukan yang sangat ternilai harganya. Sehingga penulis

dapat menyempurnakan penulisan Skripsi ini.

Wassalamu'alakum Warahmatullahi Wabarrakathu

Ternate, 31 Juli 2024

Yurny Mahu

ix

ABSTRAK

Yurny Mahu

PREDIKSI PERILAKU NONLINIER HUBUNGAN TEGANGAN REGANGAN PADA KOLOM PERSEGI DENGAN VARIASI RASIO TULANGAN MEMANJANG MENGGUNAKAN ABAQUS. Kata Kunci: Struktur, Balok, Variasi Rasio Tulangan, Finnite Element Analysis

Karakteristik atau perilaku beton pada umumnya diperoleh dengan pengujian eksperimental di laboratorium. Pengujian ini akan memberikan gambaran mengenai respon struktur berdasarkan keadaan nyata. Namun pada dasarnya, untuk bisa mendapatkan data yang valid, simulasi tersebut perlu diuji dengan dengan percobaan dan biaya yang besar, tenaga yang tidak sedikit, waktu yang lama, serta pelaksanaan yang cukup sulit. Maka dibutuhkan pendekatan yang tidak memerlukan biaya terlalu besar dan waktu yang lama. Salah satu pendekatan yang dapat dilakukan yaitu dengan metode elemen hingga (finnite elementnmethod).

Pemodelan Finnite Element Method ini menggunakan program komputer Abaqus 6.14 data material yang digunakan berdasarkan karakteristik material yang diketahui dalam penelitian terdahulu. Dalam penelitian ini kolom yang dimodelkan memiliki tinggi 800 mm dan lebar 225 mm serta panjang 225 mm. Kolom yang dimodelkan memiliki 4 variasi kolom. Kolom A merupakan kolom polos. Kolom B menggunakan 4 Ø 10 tulangan memanjang. Kolom C menggunakan 8 Ø 10 tulangan memanjang. Kolom D menggunakan 12 Ø 10 tulangan memanjang. Data yang diamati adalah beban maksimum, pola retak, tegangan dan regangan.

Dari hasil simulasi menggunakan program Abaqus 6.14 kolom B,C,D menunjukan pengaruh jumlah tulangan memanjang jika semakin banyak tulangan memanjang pada kolom maka semakin tinggi nilai tegangan regangan yang didapat. Dari hasil penelitian software yang didapat dengan membandingkan hasil pada experimental maka diperoleh perilaku tegangan dan regangan Kolom A (Kolom Polos) didapatkan kuat tekan ultimate beton sebesar 21,87 Mpa dan regangan ultimate 0,0032 mm. berdasarkan hasil dari experimental, tegangan puncak adalah 22,24 Mpa dan regangan 0,0020. Perilaku material yang digunakan pada FEM menggunakan pendekatan teoritis sehingga menyebabkan sedikit perbedaan dengan hasil experimental, namun diakhir pembebanan nilai yang dikeluarkan mendekati dengan hasil experimental. Kemudian Tegangan regangan yang terjadi saat beban puncak pada Kolom C (8 tulangan memanajang) didapatkan kuat tekan ultimate beton 30,51 Mpa dan regangan ultimate 0,0055 dan hasil dari experimental, tegangan puncak adalah 29,64 Mpa dan regangan 0,00532. Sementara Pola retak pada kolom A bisa dikatakan serupa dengan adanya retak garis dan untuk Kolom C retak pada permukaan sisi kolom dan bagian dalamnya hanya mengalami sedikit kerusakan ini mewakili kerusakan yang terjadi pada hasil uji experimental.

DAFTAR ISI

SAMPULi
LEMBAR PENGESAHANiii
LEMBAR PERNYATAAN KEASLIANv
KATA PENGANTARviii
ABSTRAKx
DAFTAR ISIxi
DAFTAR TABELxv
DAFTAR GAMBARxvi
BAB I PENDAHULUAN1
1.1 Latar Belakang1
1.2 Rumusan Masalah4
1.3 Tujuan Penulisan4
1.4 Manfaat Penulisan4
1.5 Batasan Masalah5
1.6 Sistematika Penulisan6
BAB II TINJAUAN PUSTAKA7
2.1 Pengertian dan Prinsip Dasar Kolom7
2.2 Tipe Kolom8
2.3 Beton Bertulang8

2.4 Baja Tulangan	9
2.5 Metode Elemen Hingga	9
2.5.1 Kelebihan dan Kekurangan Metode Elemen Hingga	10
2.5.2 Program FEA (Finite Element Analysis)	11
2.6 Nonlinier	11
2.7 Program Abaqus	14
2.7.1 Pemodelan Elemen Hingga pada Abaqus	15
2.7.2 Preprocessing	18
2.7.3 Simulasi	20
2.7.4 Postprocessing	20
2.7.5 Satuan Unit Abaqus	21
2.8 Model Konstitutif Beton	21
2.8.1 Prinsip Kegagalan Beton	21
2.8.2 Parameter Concrate Damage Plasticity	22
2.8.3 Tegangan Regangan Desak Beton	23
2.8.4 Parameter Kerusakan	25
2.9 Penelitian terdahulu	27
III METODOLI PENELITIAN	29
3.1 Jenis Penelitian	29

BAB

3.2 Waktu dan Lokasi Penelitian29
3.2.1 Waktu Penelitian29
3.2.2 Lokasi Penelitian30
3.3 Data Materila30
3.3.1 Hasil Pendekatan Konstitutif Material Beton30
3.3.2 Tegangan Regangan Tekan Beton30
3.3.3 Tegangan Regangan Tarik Beton32
3.4 Peralatan Penelitian36
3.5 Objek Penelitian36
3.6 Pemodelan Program Abaqus37
3.7 Diagram Alir Penelitian39
BAB IV HASIL DAN PEMBAHASAN40
4.1 Hasil Analisis Elemen Hingga ABAQUS 6.1440
4.1.1 Kolom Polos
4.1.2 Kolom 8 Tulangan Utama41
4.2 Perilaku Nonlinier42
4.2.1 Perbandingan Experimental & FEM (kolom Polos)43
4.2.2 Perbandingan Experimental & FEM (kolom 8 Tulangan Utama)45
4.2.3 Hasil Kolom FEM47
BAB V KESIMPULAN DAN SARAN53

,	5.1 Kesimpulan	53
!	5.2 Saran	54
DAFTA	ΔΡ ΡΙΙΣΤΔΚΔ	55

DAFTAR TABEL

Tabel 2.1 unit yang digunakan Ketika Mengimput Data	21
Tabel 2.2 Parameter Concrate Damage Plasticity	23
Tabel 3.1 Rencana Waktu Penelitian	29
Tabel 3.2 Parameter Konstitutif Tekan Beton	30
Tabel 3.3 Parameter Konstitutif Tarik Beton	32
Tabel 3.4 Parameter Konstitutif Material Baja	33
Tabel 3.5 Parameter Density dan Material Elastis	34
Tabel 3.6 Parameter Plasticity	35
Tabel 3.7 Parameter Density dan Elastis Baja	35
Tabel 3.8 Sifat Mekanis Baja	35
Tabel 3.9 Model Benda Uji Penelitian	37
Tabel 4.1 Tegangan Regangan Kolom Polos	40
Tabel 4.2 Tegangan Regangan Kolom 8 Tulangan Utama	41
Tabel 4.3 Hasil Simulasi Software & Experimental RCP	44
Tabel 4.4 Hasil Simulasi Software & Experimental RCH T8	45
Tabel 4.5 Tegangan Regangan Kolom 4 Tulangan Memanjang	48
Tabel 4.6 Teganagn Regangan Kolom 12 Tulangan Memanjang	50

DAFTAR GAMBAR

Gambar 2.1 Program Komputer yang berbasis FEA	11
Gambar 2.2 Halaman Tampilan Program ABAQUS	14
Gambar 2.3 Jenis – Jenis Model Elemen	16
Gambar 2.4 Elemen Tipe C3D8R dan C3D4	16
Gambar 2.5 Truss Element	17
Gambar 2.6 Kerangka Dalam Menjalankan Program ABAQUS	18
Gambar 2.7 Perilaku Beton Terhadap Beban	25
Gambar 3.1 Tegangan Regangan Tekan Beton	31
Gambar 3.2 Tegangan Regangan Tarik Beton	33
Gambar 3.3 Model Kolom Persegi yang dianalisis	36
Gambar 3.4 Membuka Abaqus / CAE v.614	37
Gambar 3.5 Tampilan Awal Abaqus / CAE v.614	38
Gambar 3.6 Diagram Alir Penelitian	39
Gambar 4.1 Hubungan Tegangan dan Regangan Kolom Polos	40
Gambar 4.2 Hubungan Tegangan dan Regangan Kolom 8 Tulangan Utama	41
Gambar 4.3 Perbandingan Kolom Polos FEM dan Experimental	44
Gambar 4.4 Perbandingan Pola Retak Experimental & FEM (BN)	45
Gambar 4.5 Perbandingan RCH T 8 FEM dan Experimental	46
Gambar 4.6 Perhandingan Pola Retak Experimental & FEM (RCH T8)	47

Gambar 4.7 Kolom 4 Tulangan Memanjang	.47
Gambar 4.8 Tegangan Regangan Kolom 4 Tulangan Memanjang	.48
Gambar 4.9 Kolom 12 Tulanagn Memanjang	.49
Gambar 4.10 Tegangan Regangan Kolom 12 Tulangan Memanjang	.50
Gambar 4.11 Grafik GabunganTegangan Regangan Kolom	51

BAB I

PENDAHULUAN

1.1 Latar Belakang

Beton merupakan material yang tahan terhadap gaya tekan namun lemah terhadap gaya tarik. Maka dari itu material beton dalam sistem struktur sering dikombinasikan dengan material yang kuat dalam menahan tarikan, seperti material baja tulangan sebagai upaya meningkatkan material beton dalam menahan gaya tarik, kombinasi tersebut biasa disebut dengan beton bertulang.

Komponen-komponen struktur gedung kebanyakan terbuat dari beton bertulang misalnya pondasi, kolom, sloof, plat lantai dan kolom. Setiap komponen struktur menahan beban rencana yang diberikan. Suatu struktur bangunan tentunya di rencanakan sedemikian rupa agar terpenuhi kriteria-kriteria yang diinginkan. Diantara salah satu dasar dari perencanaan konstruksi adalah menentukan jenis dari struktur yang akan dibuat, dapat berupa struktur beton, struktur baja ataupu struktur komposit yaitu gabungan antara struktur beton dan baja. setiap material struktur baik itu baja ataupun beton memiliki kelebihan dan kekurangannya masing-masing.

Kolom sebagai penerus beban seluruh bangunan ke pondasi. Beban sebuah bangunan yang dimulai dari atap akan diterima oleh kolom. Seluruh beban yang diterima oleh kolom kemudian didistribusikan ke permukaan tanah bawahnya. Dengan begitu, kolom pada sebuah bangunan memiliki fungsi yang sangat vital. Jika melihat penjelasan sebelumnya, dapat disimpulkan bahwa kolom merupakan termasuk struktur utama bangunan untuk meneruskan berat bangunan dan beban lain seperti beban hidup (manusia dan barang-barang. Maupun beban hembusan angin. Keruntuhan dan

kegagalan struktur pada kolom menjadi titik kritis yang dapat menyembabkan runtuhnya bangunan. Namun yang perlu diingat juga selain harus melalui proses perhitungan yang tepat, kondisi tanah pun harus benar-benar mampu menerima beban dari atas pondasi.

Komponen struktur yang langsung menerima gaya lateral akibat gempa adalah kolom sehingga desain dan pendetailan tulangan kolom memerlikan penanganan yang khusus, Seperti jarak dan jumlah tulangan utama, diketahui juga bahwa kemampuan suatu struktur pada saat menerima beban gempa tergantung pada seberapa besar pemancaran energi potensial dan pembentukan sendi plastis pada kolom, sehingga struktur tidak runtuh secara mendadak akibat gempa yang kuat dan dapat memastikan stabilitas struktur untuk memelihara kapasitasnya terhadap beban aksial selama terjadi gempa.

Selama masa layannya kolom beton bertulang dapat mengalami penurunan kekuatan, hal ini bisa disebabkan oleh cuaca, korosi pada tulangan baja, beban yang berlebih, kebakaran atau gempa bumi. Pada saat dimana beban ditingkatkan pada kolom tersebut, sehingga mengakibatkan retak-retak pada bagian kolom. Penambahan tingkat beban secara terus menerus mengakibatkan kegagalan element struktur saat beban eksternal mencapai kapasitas element tersebut. Untuk itu agar kolom tetap dapat menahan beban yang diterimanya perlu dilakukan perkuatan pada struktur tersebut.

Salah satu dari metode perkuatan struktur yang di pakai yaitu *fine mesh* yang dilakukan pengujian secara eksperimental di laboratorium. Pengujian ini memberikan gambaran mengenai respon struktur berdasarkan keadaan nyata seperti yang di lakukan Dominggus Bakarbessy (2008) dalam penelitiannya " Efektifitas pengekangan *fine mesh* pada kolom persegi beton bertulang ", menunujukan tegangan puncak beton terkekang

mencapai 1,73% - 7,49%. kolom yang pakai tulangan sengkang *Fine Mesh* + sengkang biasa mempunyai daktalitas yang hampir sama dengan kolom yang pakai sengkang biasa saja, Terdapat kemiripan bentuk kurva tegangan-regangan pada hasil eksperimental kolom RCFMH dan RCH. Namun pada dasarnya, untuk bisa mendapatkan data yang valid, simulasi tersebut perlu diuji dengan percobaan dan biaya yang besar, tenaga yang tidak sedikit, waktu yang lama, serta pelaksanaan yang terbilang sulit. Oleh karena itu dengan kemajuan teknologi saat ini, studi experimental tersebut dapat dilakukan tanpa adanya pengujian dilaboratorium. Melainkan specimen dari experimental tersebut dimodelkan menggunakan *software* komputer. Hal ini tentunya dinilai positif karena dapat meminimalisir waktu, tenaga dan biaya pengujian yang dilakukan secara experimental. Oleh sebab itu, penulis berencana melakukan penelitian mengenai efek variasi rasio tulangan memanjang pada kolom beton persegi dari hasil penelitian experimental dengan menggunakan data kolom RCP dan RCH pada penelitian tersebut. dengan menggunakan analisis hasil dari *software* pemodelan yang berbasis metode element hingga yaitu *Software ABAQUS CAE 6.14*

Abagus adalah program simulasi rekayasa didasarkan pada Finite Element pada titik yang ditinjau. Finite Element Analysis dibangun sebagai metode numerik untuk analisa tegangan dan regangan dalam kolom.

Dipilihnya software ABAQUS didasari dengan kelebihannya dalam memasukan data hasil experimen kedalam tabel *properties* material sebagai input data dari material beton dengan lebih akurat. Hasil yang didapatkan dengan software ABAQUS 6.14 ini akan divalidasikan dengan hasil pengujian secara experimental.

Berdasarkan latar belakang yang telah diuraikan maka tugas akhir ini akan diberi judul "PREDIKSI PERILAKU NONLINIER HUBUNGAN TEGANGAN REGANGAN PADA KOLOM PERSEGI DENGAN VARIASI RASIO TULANGAN MEMANJANG MENGGUNAKAN ABAQUS".

1.2 Rumusan Masalah

Adapun pembahasan yang dibahas dalam penelitian ini adalah:

- Bagaimana tingkat validasi dari hasil software berupa tegangan regangan dengan hasil experimental terhadap kolom.
- Begaimana kesamaan pola retak model kolom dari hasil software dengan hasil secara experimental.

1.3 Tujuan Penulisan

- Untuk mengetahui tingkat akurasi simullasi software berbasis element hingga terhadap kolom berdasarkan keadaan nyata.
- Untuk mengetahui pola keretakan kolom dari hasil software dengan hasil experimental.

1.4 Manfaat Penulisan

- Untuk dapat memberikan pemahaman perilaku tegangan-regangan kolom beton bertulang dengan menggunakan program ABAQUS, dan menjadi sarana baru dalam penelitian serupa.
- Untuk dapat divalidasi dengan hasil penelitian secara experimental dengan bantuan software sehingga penelitian tersebut lebih akurat.

- Untuk dapat menjadi suatu dasar pertimbangan dalam menggunakan software pada struktur sehingga dapat meningkatkan efisiensi perkiraan dari segi waktu, biaya, dan tenaga.
- Memberikan tambahan informasi pada penelitian selanjutnya dibidang pemodelan.

1.5 Batasan Masalah

Berdasarkan rumusan masalah diatas, penulis memberikan batasan masalah agar pembahasan sesuai dengan judul penelitian, yaitu sebagai berikut :

- Data analisis menggunakan data sekunder dari penelitian yang di lakukan oleh Dominggus Bakarbessy (2008) dalam thesisnya yang berjudul "Efektifitas Pengekangan Fine Mesh Pada Kolom Persegi Beton Bertulang".
- 2. Pemodelan dilakukan menggunakan program komputer berbasis *Finnite Element* yaitu *ABAQUS* versi 6.14.
- 3. Kolom yang ditinjau dalam keadaan elastis.
- 4. Kolom yang dimodelkan yaitu kolom persegi dan merupakan kolom pendek.
- 5. Analisis yang ditinjau / divalidasikan berupa :
 - a) Model kolom polos (RCP) dan kolom dengan 8 tulangan utama. (RCH).
 - b) Pola retak kolom.
- 6. Material beton yang dapakai spesifikasi fc = 22,2 mpa

1.6 Sistematika Penulisan

Sistematika penulisan ini ditujukan untuk memberikan gambaran secara garis besar isi dari setiap bab yang akan dibahas pada tugas akhir ini. Sistematika penulisan tugas akhir ini adalah sebagai berikut :

BAB I PENDAHULUAN

Bab ini berisi latar belakang, rumusan masalah, tujuan penulisan, manfaat penulisan, batasan masalah dan sistematika penulisan.

BAB II TINJAUAN PUSTAKA

Bab ini berisi uraian tentang dasar-dasar teori yang digunakan dalam penelitian perilaku tegangan regangan kolom beton bertulang dengan menggunakan ABAQUS.

BAB III METODOLOGI PENELITIAN

Bab ini berisi pembahasan tentang gambaran umum, metode yang digunakan dan penjelasan mengenai langkah-langkah yang akan dilakukan dalam menganalisa perilaku kolom beton bertulang dengan menggunaan *ABAQUS*.

BAB IV HASIL DAN PEMBAHASAN

Bab ini berisi tentang kesimpulan yang diperoleh dari hasil penelitian dan saransaran mengenai tindakan yang perlu ditempuh agar hasil yang diperoleh berikutnya lebih maksimal.

BAB II

TINJAUAN PUSTAKA

2.1 Pengertian dan Prinsip Dasar Kolom

Dalam setiap struktur bangunan diperlukan adanya kolom, elemen tersebut diperlukan untuk meneruskan beban-beban yang terjadi pada struktur bangunan ke pondasi. Beban yang terjadi dapat berupa beban mati, hidup, angin, dan gempa, beban dipikul oleh balok tetapi untuk menyalurkannya yang diterima balok diperlikan kolom untuk menyalurkan beban-beban ke pondasi, sehingga kolom menerima beban aksial yang lebih besar dari pada balok.

Prinsip-prinsip tegangan dan regangan kolom tidak jauh berbeda dengan balok, tetapi perlu ditekankan bahwa pada kolom terdapat penambahan faktor tekan tidak hanya momen lentur. Maka perlu dilakukan penyesuaian persamaan balok untuk kolom yang mengalami kombinasi beban aksial yang lentur.

Perencanaan kolom yang detail diperlukan adanya tulangan. Tulangan pada kolom yang mendominasi adalah tulangan tekan karena perilaku kegagalan tekan dalam kasus-kasus dengan rasio antara beban aksial dengan momen lentur yang besar tidak dapat dihindari.

Prinsip-prinsip yang mendasari perhitungan kekuatan kolom adalah sebagai berikut :

- 1) Distribusi regangan linier terjadi terjadi sepanjang ketebalan kolom.
- Tidak ada gelincir antara beton dan baja (yaitu, regangan dalam baja dan beton yang berhubungan adalah sama).

- 3) Regangan beton diperbolehkan maksimum pada saat kegagalan untuk tujuan perhitungan-perhitungan kekuatan.
- 4) Tahanan tarik beton dapat diabaikan dan tidak diperhitungkan didalam perhitungan.

2.2 Tipe Kolom

Tipe kolom berdasarkan bentuk dan susunan tulangan dapat di klasifikasi menjadi 3 tipe kolom sebagai berikut :

- Kolom persegi atau bujur sangkar dengan tulangan longitudinal dan tulangan lateral.
- Kolom bulat dengan tulangan longitudinal dan tulangan lateral berupa sengkang atau spiral.
- Kolom komposit dimana profil baja diselimuti oleh beton. Bentuk struktur tersebut dapat ditempatkan di dalam rangka tulangan

Kolom beton bertulang akan meningkatkan kekuatannya apabila dilakukan pengekangan. Pada umumnya pengekangan dilakukan menggunakan sengkang baik itu berbentuk segi empat atau berbentuk spiral.

2.3 Beton Bertulang

beton bertulang adalah material komposit dimana tulangan baja disusun ke dalam beton sedemikian rupa. Berfungsi menahan gaya tarik dari struktur. Kedua material tersebut bekerja sama untuk menahan gaya-gaya yang bekerja pada elemen tersebut.

Beton bertulang mempunyai sifat yaitu kuat terhadap tekan tapi lemah terhadap tarik. Beban tarik pada beton bertulang di tahan baja tulangan, sedangkan beban tekan cukup di tahan oleh beton.

Dibalik kelebihan yang dimiliki beton bertulang jika dibandingkan dengan bahan material lain, beton bertulang memiliki masalah yang dapat mengurangi keunggulannya, diantara masalah yang sering dijumpai adalah masalah keretakan yang terjadi pada bahan tersebut, keretakan pada beton bertulang dapat timbul pada saat pra konstruksi dan pasca konstruksi.

2.4 Baja Tulangan

Penempatan baja tulangan dalam suatu penampang beton adalah untuk menahan gaya tarik yang bekerja pada penampang beton adalah untuk menahan gaya tarik yang bekerja pada penampang tersebut, ada juga jenis baja tulangan, pertama tulangan polos (*plain bar*) dan tulangan ulir (*deformed bar*) serta SNI menggunakan simbol BJTP (baja tulangan polos) dan BJYD (baja tulangan ulir).

Modulus elastisitas baja tulangan di tentukan berdasarkan tegangan regangan dimana antar mutu baja yang satu dengan yang lain tidak banyak bervariasi. Ketentuan SK SNI T-15-1991-03 menetapkan bahwa modulus elastisitas baja adalah 200000 Mpa, sedangkan modulus elastisitas untuk beton prategang harus dibuktikan dan ditentukan melalui pengujian oleh pabrik.

2.5 Metode Elemen Hingga

Metode elemen hingga adalah metode numerik yang digunakan untuk mendapatkan solusi dari persamaan differensial, baik berupa (Ordinary Differensial Equation) ataupun (partial Differential Equation) karena persamaan differensial seringkali dipakasi sebagai model dalam permasalahan engineering maka penting untuk memahami dan menerapkan metode elemen hingga (MEH).

Pada awalnya metode elemen hingga (MEH) dikembangkan untuk memecahkan masalah dibidang mekanika benda padat (Solid Mechanic), akan tetapi kini MEH sudah mengalami perkembangan kehampir semuah permasalahan engineering seperti mekanika fluida (Fluid Mechanich), perpindahan panas (Heat Transfer), elektromaknetik (Electro Magnetism), getaran (vibration), analisis model (Model Analysis), dan banyak lagi problem engineering lainnya.

Proses inti dari metode element hingga (*MEH*) adalah dengan membagi problem yang kompleks menjadi bagian-bagian kecil atau element-element yang mana solusi yang lebih sederhana dapat dengan mudah diperoleh. Dari solusi yang ada pada setiap element jika digabungkan akan menjadi solusi *problem* secara keseluruhan.

2.5.1 Kelebihan dan Kekurangan Metode Elemen Hingga

Menurut yerri susatio, diantara kelebihan dalam menggunakan metode element hingga adalah sebagai berikut :

- 1. Dapat dengan mudah dianalisa benda dengan bentuk yang tidak teratur.
- Tidak terdapat kesulitan dalam menganalisa suatu benda pada struktur.
- Pemodelan dari suatu benda yang memiliki komposisi dari material yang berlainan dapat dilakukan dengan meninjau yang dilakukan secara individu untuk setiap element.
- 4. Dapat menangani berbagai macam syarat batas dengan jumlah tak terbatas.
- Variasi dalam ukuran element memungkinkan untuk dapat memperoleh detail analisa yang diinginkan.
- 6. Dapat memecahkan masalah-masalah dinamik.

Adapun untuk kekurangan dalam metode ini adalah diperlukannya komputer sebagai sarana untuk menghitung dengan cepat dan akurat.

2.5.2 Program FEA (Finite Element Analysis)

Finite element (FE) merupakan salah satu dari metode numerikal yang paling sering digunakan dalam menyelesaikan suatu permasalahan analisis struktur. dikarenakan begitu kompleksnya dalam menganalisa suatu permasalahan struktur, sehingga dibutuhkannya waktu yang lebih lama dalam menyelesaikannya. untuk mempermudah dan mempersingkat waktu dalam menyelesaikan suatu permasalahan struktur, maka dibuatlah program komputer yang berbasis FEA (Finite Element Analysis). Saat ini sudah banyak program-program berbasis FEA yang tersedia dan siap digunakan diantaranya adalah: ANSYS, NASTRAN, HYPERMESH, ATENA, LSDYNA, ABAQUS dan lain-lain.







Gambar 2.1 Program komputer yang berbasis FEA (Finite Element Analysis)

(Sumber: Yogi, 2015)

2.6 Nonlinier

Nonlinier adalah suatu sistem yang menggambarkan hubungan antara variabel tidak mengikuti atau mematuhi pola linier atau garis lurus. Perilaku nonlinier merujuk pada situasi dimana hubungan antara variabel tidak dapat dijelaskan atau diprediksi

secara langsung sebagai suatu garis lurus. Sistem nonlinier cenderung memiliki respons yang kompleks dan tidak proporsional terhadap perubahan inputnya. Nonlinier seringkali muncul ketika ada interaksi yang kompleks antara variabel. Hubungan linier menghasilkan garis lurus jika diplot pada grafik. Hubungan nonlinier tidak menghasilkan garis lurus melainkan lengkungan berbentuk kurva.

Analisis Nonlinier

Non-linearitas material

Ketika material bergerak ke zona melebihi kekuatan luluhnya, maka material tersebut tidak lagi berperilaku linier. Ada banyak hal yang akan terjadi jika material masuk kedalam zona ini:

- Deformasi Permanen: artinya ketika material dibongkar maka material tersebut tidak akan kembali ke bentuk atau posisi semula. Misalnya, jika Anda mengambil kantong plastik dan meregangnkannya, setelah titik tertentu meskipun Anda melepaskan kantongnya, Anda akan melihat stretch mark permanen. Hal ini disebut deformasi permanen.
- Retak: umumnya retak juga terjadi pada desain linier, namur retak pada linier namun retak pada beton kita abaikan, meskipun tetap mempertimbangkan berkurangnya kekakuan komponen struktur pada saat melakukan desain seismik, namun tetap merupakan nilai kekakuan perkiraan. Sedangkan dalam analisis nonlinier kita memantau keretakan sehingga beton akan retak dan komponen akan kehilangan kekakuannya.
- Rotasi balok: ketika balok dikenai momen yang lebih besar dari kapasitasnya, balok tidak lagi menahan momen, melainkan berputar dan

membentuk engsel plastis dan mulai menghamburkan energi. Ini merupakan bagian dari non-linieritas material material tetapi untuk kurva balok tetapi untuk balok disebut kurva tulang punggung (hubungan FD).

• Disipasi energi: inilah yang terjadi dalam analisis nonlinier apabila suatu komponen struktur melebihi kapasitasnya (batas elastis), maka komponen tersebut akan mengalami pengerasan regangan atau retak dan akan mulai kehilangan kekakuannya yang juga berarti bahwa kekakuan total struktur atau bangunan juga ikut berubah. Jika kehilngan kekakuan cukup signifikan dan hasil atau keseimbangan energi tidak menyatu, proses yang sama akan diulangi lagi dan melakukan analisis lagi. Siklus ini akan berlanjut hingga akurasi yang diinginkan tercapai, tetapi dengan menggunakan modifikasi kekakuan struktur yang direvisi karena retak atau material mejadi plastis. Dengan demikian, analisi nonlinier membutuhkan waktu yang lebih lama dibandingkan analisis linier karena hilangnya kekakuan dan sifat iteratifnya. analisis linier tidak dapat memberikan gambaran lengkap tentang apa yang bisa terjadi pada struktur bila terjadi gempa.

Secara umum, analisis nonlinier memiliki empat teknik dasar :

- 1. Model kolom balok nonlinier serbaguna
- 2. Model kolom balok engsel plastik
- 3. Model fenomenologis
- 4. Model elemen hingga shell

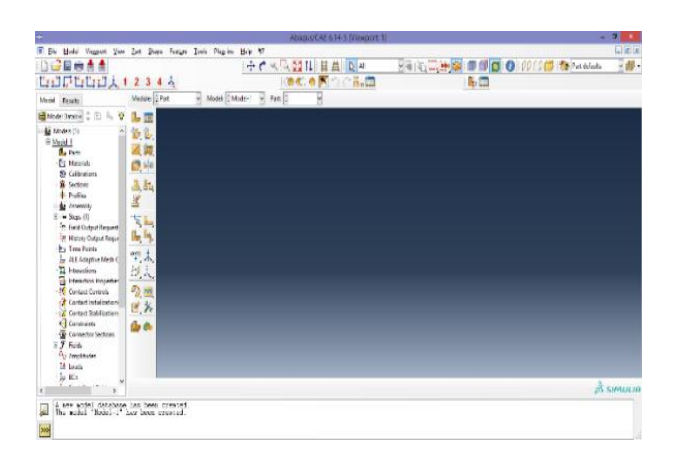
Model kolom balok nonlinier

Elemen balok umumnya tidak menggabungkan nonlinier geometris pada tingkat elemen dan beberapa elemen balok disepanjang komponen struktur diperlukan untuk memodelkan respons tekuk secra akurat.

Persamaan kesetimbangan biasanya dievaluasi dalam kondisi terdeformasi, yaitu perpindahan terbesar. Kekakuan diintegrasikan secara numerik dari distribusi tegangan pada titik-titk diseluruh penampang akibat aksi gabungan gaya aksial dan momen.

2.7 Program Abaqus

Abaqus merupakan software dengan berbagai macam program yang dapat melakukan simulasi dan rekayasa yang didasari oleh metode elemen hingga, yang mampu memecahkan suatu masalah struktur dari mulai analisa linier sederhana sampai dengan simulasi non linier yang kompleks. Program ini dapat memodelkan semua geometri, dan juga mempunyai daftar luas dari model material yang mampu mensimulasikan perilaku bahan material, termasuk karet, logam, polimer, beton, dan bahan geoteknik seperti batuan dan tanah.



Gambar 2.2 Halaman tampilan program abaqus

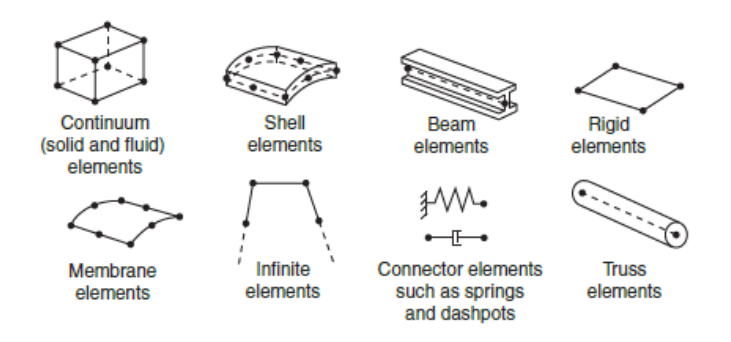
(Sumber: Program Abagus versi 6.14)

Abaqus dapat memberikan berbagai kemudahan untuk simulasi aplikasi linier dan nonlinier. Abaqus dapat memodelkan beberapa bagian elemen dengan berbagai geometri bagian elemen dengan material model yang sesuai dan dapat menetapkan interaksi setiap elemen. Dalam analisis yang non linier, abaqus dapat memilih nilai penjumlahan beban yang akurat dan toleransi konvergensi dan terus menyesuaikan pada saat proses analisis untuk membuktikan bahwa didapatkan solusi yang akurat dan efisien pada saat analisis.

Kelebihan lain yang dimiliki *abaqus* adalah hasil dari analisisnya bisa langsung dapat dilihat bersamaan dengan jalannya simulasi. Sementara pada metode analitik yang merupakan suatu formulasi dari angka-angka, yang mana dibutuhkan pemahaman konsep-konsep dasar dan penguasaan rumus dalam menganalisis sebuah kasus, hasil plot tidak dapat langsung dilihat sebagaimana hasil dari analisis pada *abaqus*.

2.7.1 Pemodelan Elemen Hingga Pada *Abaqus*

Beberapa parameter awal diantaranya sifat material, geometri dan pemilihan solusi untuk memecahkan masalah menjadi suatu bagian yang penting. Konsistensi *Abaqus* dalam mengembangkan *software* memberikan kemajuan dalam ketepatan permodelan material, geometrik dan model pembebanan sehingga dapat memperoleh hasil yang eksak dan mendekati kondisi nyata. *Abaqus* memberikan banyak pilihan pemodelan yang dapat digunakan. pengguna dapat memilih model yang sesuai dengan geometrik, material maupun perilaku benda uji yang nantinya akan dimodelkan. Gambar 2.3 menunjukan beberapa jenis model yang dapat dipilih secara langsung pada program *Abaqus*.

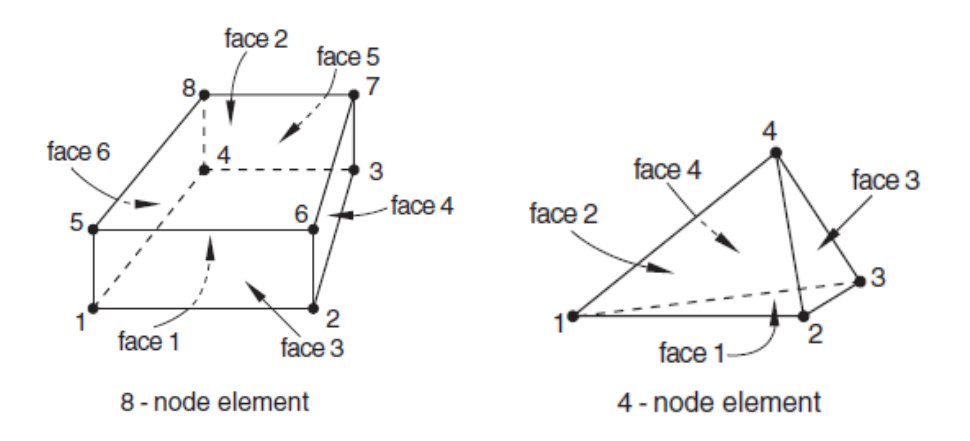


Gambar 2. 3 Jenis -Jenis Model Elemen

(Sumber: Abaqus manual)

1. Tipe Solid Element 3D

Tipe element dalam pemodelan element hingga diharuskan sesuai dengan kondisi geometrik dan idealisasi dari struktur untuk mendapatkan *output* yang ingin dicapai. Model elemen hingga dari beton dimodelkan 3D dengan menggunakan element *solid* 3D yang berupa element C3D8R (*Continuum* 3D, 8-node linier brick, reduced integration) dan element C3D4 (*Continuum* 3D, 4-node linier tetrahedron) yang terlihat pada gambar 2.4 berikut ini.

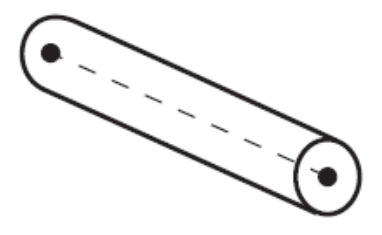


Gambar 2.4 Element Tipe C3D8R dan C3D4

(Sumber: Abagus manual)

2. Model Tulangan Baja

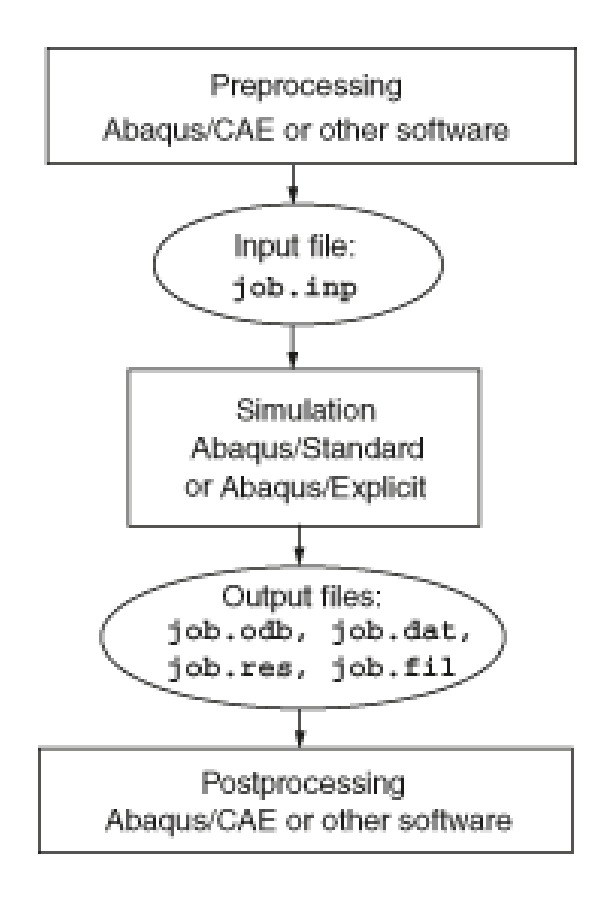
Didalam abaqus tersedia model *truss* yang dapat memodelkan baja tulangan. Pemodelan element ini diperlukan minimal dua titik untuk dimodelkan sebagai *truss*. Dari tiap titiknya memiliki tiga derajat kebebasan dan dapat bertranslasi pada tiga arah sumbu x, y dan z. element ini juga memiliki kemampuan untuk dapat mengalami deformasi plastis. Bentuk geometrik dan penempatan titik dapat dilihat pada gambar 2.5



Gambar 2. 5 *Truss* Element (Sumber : *Abaqus* manual)

3. Embedded Interaction

Interaksi element pada tulangan baja dengan material beton dimodelkan sebagai embedded dengan menggunakan element truss. Konsep interaksi pada element didefinisikan sebagai embedded dimana interaksi yang terjadi akan sama antara element embedded dengan host elementnya. Sementara translasi derajat kebebasan dari titik embedded terkait dengan hasil interpolasi yang berdasarkan derajat kebebasan dari host elementnya. Jadi host element didefinisikan sebagai constrain pada embedded element, sehingga translasi yang terjadi pada titik embedded akan identik atau sama dengan host elementnya.



Gambar 2.6 Kerangka Dalam Menjalankan Program Abaqus

(Sumber : abaqus-docs.mit.edu)

2.7.2 Preprocessing

Proses pemodelan pada *software ABAQUS* terbagi dalam beberapa modul, yang dari setiap modul tersebut memiliki fungsi yang spesifik dalam mendefinisikan suatu model dan dari setiap modul hanya memiliki *tools* yang relevan dengan fungsi spesifik tersebut.

Modul-modul yang terdapat pada program abaqus diantaranya adalah :

Modul Part

Modul *part* adalah modul yang akan digunakan untuk menggambar atau mensketsa geometrik yang akan disimulasikan pada program *ABAQUS*. Modul *part*

menyediakan menu *tool bar* yang berfungsi untuk melakukan modifikasi geometrik sesuai dengan model yang diinginkan.

Modul Property

Modul property berfungsi untuk menginput sifat mekanis bahan, jenis material, kekuatan bahan, dan spesifikasi teknis pada suatu *part* atau pada suatu bagian dari *part* yang nantinya akan dianalisis. Modul *property* merupakan bagian yang sangat penting sebelum kita masuk ke langkah selanjutnya, karena *property* dari material harus diberikan sebelum kita melakukan proses *assembly*.

Modul Assembly

Modul assembly adalah modul yang berfungsi sebagai penyusun dari bagian-bagian komponen yang kita buat menjadi satu kesatuan model sehingga memungkinkan untuk dilakukannya analisis numerik. *Part* yang telah dimaskan kedalam modul assembly disebut *part instance*.

Modul Step

Modul *step* difungsikan untuk mengurutkan langkah-langkah mana yang akan didefinisikan sebagai letak pemberian beban atau kecepatan. Pada modul *step* disediakan juga menu set dan *surface* untuk meletakkan beban yang nantinya akan dikerjakan pada suatu komponen struktur.

Modul Interaction

Modul *interaction* dipakai untuk menentukan suatu bagian material yang akan mengalami kontak. *Interaction* juga berfungsi untuk memberikan *constrain* pada suatu benda yang akan dianalisis dalam upaya mencegahnya bergeser atau berpindah dari posisinya.

Modul Load

Modul *load* digunakan untuk memberikan beban, kecepatan, *boundary* pada suatu komponen struktur. Modul *load* juga difungsikan sebagai sarana untuk memasukkan kondisi batas (*boundary condition*).

Modul Mesh

Modul *mesh* berfungsi untuk membagi suatu geometrik dari satu *element* menjadi beberapa *element*. Kita juga bisa menentukan jenis *mesh* yang akan digunakan. Semakin banyak *mesh* yang dibuat akan memberikan hasil yang lebih sempurna.

Modul Job

Modul *job* difungsikan untuk melakukan proses *running* terhadap model dari geometrik yang kita buat. Setelah data yang dimasukan selesai maka selanjutnya kita serahkan pada modul *job* untuk melakukan proses secara numerik. Selama dalam proses numerik kita dapat memonitor di dalam *software* dari *message area* yang berada di bawah *view port* apakah *submit job* berhasil ataukah tidak, jika terjadi *error message* kita kembali pada modul untuk melakukan modifikasi terhadap bagian-bagian yang masih terdapat kesalahan.

2.7.3 Simulasi

Abaqus standar dan explicit digunakan untuk melakukan simulasi dari hasil processing yang dibuat di dalam software Abaqus. Pada tingkatan ini Abaqus akan memecahkan permasalahan yang diberikan ke dalam program dengan melakukan penyelesaian secara numerik.

2.7.4 Postprocessing

Hasil dari simulasi yang telah lengkap (completed) dapat kita evaluasi seperti, regangan, tegangan, displacement, energi atau variabel fundamental lain yang telah selesai dilakukan proses perhitungan. Biasanya evaluasi dilakukan secara interaktif

dengan menggunakan visualisasi modul dari *Abaqus* atau *post processor* yang lain. Modul visualisasi membaca *binary file output data base*, dan mempunyai bermacammacam pilihan untuk ditampilkan yang meliputi plot kontur warna, animasi, plot perubahan bentuk, dan plot grafik X-Y.

2.7.5 Satuan Unit *Abaqus*

Pada *software* abaqus tidak terdapat pilihan satuan unit didalamnya, kita yang harus menentukan sendiri satuan yang akan kita gunakan. Akan tetapi dalam penggunaannya diharuskan konsisten. Konsistensi satuan dapat dilihat pada tabel 2.1

Quantitiy	SI	SI (mm)	US Unit (ft)	US Unit
Length	M	Mm	Ft	In
Force	N	N	Lbf	Lbf
Mass	Kg	tonne (103 kg)	Slug	lbf s²/in
Time	S	S	S	S
Stress	Pa (N/m²)	MPa (N/mm ²)	lbf/ft ²	psi (lbf/in²)
Energy	J	mJ (10 ⁻³ J)	ft lbf	in lbf
Density	kg/m²	tonne/mm ³	slug/ft³	lbf s²/in4

Tabel 2. 1. Unit yang digunakan ketika menginput data

2.8 Model Konstitutif Beton

Abaqus menyediakan dua jenis model untuk mensimulasikan perilaku beton non linear diantaranya yaitu, smeared cracking dan concreted

amage plasticity. Pada penelitian ini akan digunakan perilaku material dari model concrete damage plasticity, yang merupakan parameter tegangan regangan untuk menggambarkan perilaku beton, yang biasanya diperoleh dengan menerapkan beban tekan aksial pada benda uji beton yang berbentuk silinder dengan ukuran standar.

2.8.1 Prinsip Kegagalan Beton

Perilaku mekanik beton disimulasikan menggunakan model concrete damage plasticity dimana parameter tersebut adalah perkiraan dari tegangan uniaksial, prinsip dari concrete damage plasticity. Pemulihan kekuatan memainkan peran penting dalam respons mekanis beton dibawah pembebanan dinamis. Pengamatan eksperimental disebagian besar bahan beton menunjukan bahwa kekakuan tekan diperoleh kembali pada penutupan retakan setelah diberi beban tarik karena beban berubah dari tarik ke tekan. Di sisi lain, kekakuan tarik tidak pulih karena beban berubah dari kompresi ke tegangan setelah retak mikro yang hancur telah berkembang.

Pada *abaqus* terdapat beberapa parameter yang menentukan agar model dapat bersifat *concrete damage plasticity* diantaranya yaitu : *Plasticity, Compressive Behavior, Tensile behavior, Concrete Compressive Damage, Concrete Tension Damage.*

2.8.2 Parameter Concrete Damage Plasticity

Ada lima parameter yang perlu untuk didefinisikan dalam memecahkan fungsi dari aliran *plastis dructer-prager* dan fungsi lelah. Untuk mendapatkan hasil yang eksak dengan parameter-parameter ini, beberapa percobaan ada baiknya perlu dilakukan. Karena kurangnya informasi mengenai parameter ini maka akan digunakannya parameter standar yang telah disediakan abaqus atau yang diusulkan pada jurnal terkait. Parameter yang perlu dideskripsikan pada sifat plastis beton adalah:

Sudut Dilatasi ψ

Sudut dilatasi merupakan rasio dari volume perubahan geser-tarik. Pada formulasi *Dructer-Prager*, dimana nilai sudut dilatasi ditunjukan pada *element* yang mengalami tekan biaksial dengan kekangan yang tinggi.

Eksentrisitas

Parameter ini adalah tingkat dimana fungsi dari Dructer-Prager mendekati

asimtot. Dengan eksentrisitas yang cenderung nol maka aliran plastis cenderung pada garis lurus.

3. σ_{co}/σ_{bo}

Parameter ini diperlukan dalam menyelesaikan fungsi leleh dan merepresentasikan rasio dari kekuatan tekan kesetimbangan biaksial awal terhadap kekuatan tekan uniaksial.

4. Parameter Viskositas

Mengenai aturan viskositas dapat digunakan ketika permasalahan mengalami konvergensi yang disebabkan karena perilaku pelemahan dan penurunan kekuatan elastis. Parameter ini bisa diasumsikan dengan nilai sama dengan nol.

5. Kc Parameter

Nilai untuk parameter Kc ditentukan dalam mempertimbangkan leleh dari permukaan deviatoric plane. Parameter Kc adalah rasio dari tegangan invariant kedua pada garis tarik menuju ke tegangan invarian ke dua menuju ke garis tekan.

Menurut Al-Osta dkk (2017) nilai dari parameter dapat didekati dengan nilai sesuai pada tabel 2.2 berikut :

Tabel 2.2 Parameter Concrete Damage Plasticity

Ψ (*)	C	σ_{co}/σ_{bo}	Kc	Viscosity Parameter
36	0.1	1.16	0.667	0

2.8.3 Tegangan Regangan Desak Beton

Hasil dari pengujian kuat tekan di laboratorium dapat memberikan informasi hasil mengenai material yang lebih akurat. Namun apabila tidak adanya data dari laboratorium yang dapat digunakan sebagai acuan, maka solusi dari hal tersebut digunakannya formulasi untuk menggambarkan grafik hubungan tegangan dan regangan dengan menggunakan data yang tersedia berupa kuat tekan rata-rata dan modulus elastisitas. Dalam menghitung tegangan regangan desak beton menggunakan persamaan yang diusulkan Lee dan Fenves (1998) dengan menggunakan beberapa parameter yang tercantum pada persamaan 2.1 sebagai berikut:

$$\sigma_c = \frac{E_0 \varepsilon_c}{1 + \left(\frac{E_0 \varepsilon_{Cu}}{\sigma_{Cu}} - 2\right) \cdot \left(\frac{\varepsilon_c}{\varepsilon_{Cu}}\right) + \left(\frac{\varepsilon_c}{\varepsilon_{Cu}}\right)^2}$$
(2.1)

Keterangan : σ_c = tegangan tekan beton,

 ε_c = regangan tekan beton,

 σ_{cu} = tegangan tekan *ultimat*e beton,

 ε_{cu} = regangan tekan *ultimate* beton,

 E_0 = modulus elastisitas beton

Selain itu untuk menghitung tegangan regangan desak tarik beton pada saat kondisi elastisnya untuk dapat mengetahui perilaku tarik beton dari tegangan *ultimate* tarik beton dapat menggunakan persamaan 2.2 yang di adopsi dari Belarbi dan Hsu (1994) ke dalam penelitian sebagai berikut:

$$\sigma_t = \sigma_{t0} \left(\frac{\varepsilon_{t0}}{\varepsilon_t}\right)^{0.4} \tag{2.2}$$

Keterangan : σ_t = tegangan tarik beton,

 σ_{t0} = tegangan *ultimate* tarik beton,

 ε_{t0} = regangan tarik awal beton,

 ε_t = regangan tarik beton,

Nilai elastisitas beton dapat dihitung dengan menggunakan persamaan 2.3 sebagai berikut:

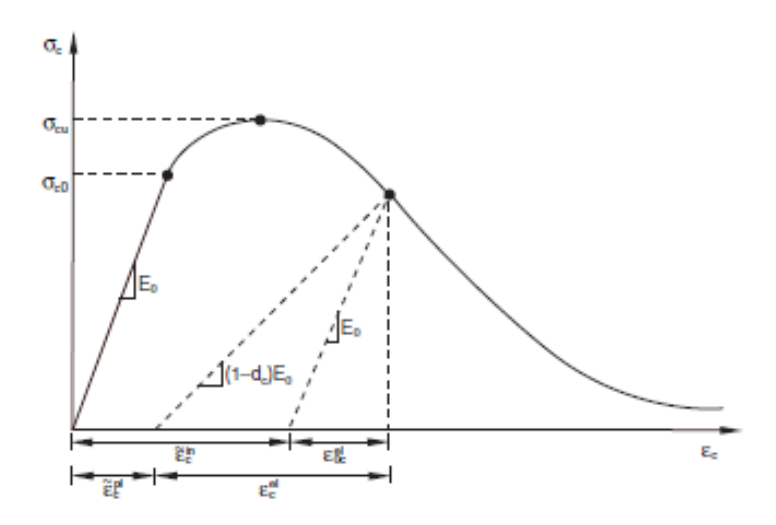
$$E_c = 4700 \sqrt{f'_c}$$
 (2.3)

2.8.4 Parameter Kerusakan

Concrete damage plasticity merupakan suatu model yang disediakan Abaqus membutuhkan beberapa parameter fungsi material yang menunjukan evolusi kerusakan atau pembentukan kerusakan yang berupa kerusakan saat mengalami gaya aksial tekan (dc) dan gaya tarik (dt).

Definisi tegangan tekan dan tarik pada beton dengan metode *concrete damage*plasticity diperhitungkan setelah mengalami kondisi elastis beton. Data ini dinyatakan ke

dalam bentuk tabel dari fungsi regangan *inelastic* (gambar 2.7)



Gambar 2.7 Perilaku Beton Terhadap Beban

(Sumber: Abaqus manual)

Tegangan-regangan tekan inelastis:

$$\tilde{\varepsilon}_{c}^{in} = \varepsilon_{c} -$$

$$\tilde{\varepsilon}_{0c}^{el}$$
(2.4)

Dimana,

$$\tilde{\varepsilon}_{0c}^{el} = \sigma_c / E_0 \qquad (2.5)$$

Tegangan-regangan tarik retak:

$$\tilde{\varepsilon}_t^{ck} = \varepsilon_t - \tilde{\varepsilon}_{0t}^{el}$$
 (2.6)

Dimana,

$$\tilde{\varepsilon}_{0t}^{el} = \sigma_t / E_0 \qquad (2.7)$$

Keterangan : $\tilde{\varepsilon}_c^{in}$ = tegangan regangan tekan *inelastis* beton,

 $\tilde{\varepsilon}_t^{ck}$ = tegangan regangan tarik retak beton,

 $\tilde{\varepsilon}^{el}_{0c}$ = tegangan regangan tekan *elastis* beton,

 $\tilde{\varepsilon}_{0t}^{el}$ = tegangan regangan tarik *elastis* beton,

 ε_c = regangan tekan beton (mm)

 ε_t = regangan tarik beton (mm)

 σ_c = tegangan tekan beton (MPa)

 σ_t = tegangan tarik beton (MPa)

 E_0 = modulus elastisitas beton (MPa)

Abaqus secara otomatis mengubah nilai regangan *inelastis* menjadi nilai regangan *plastis*. hubungan dari regangan retak dan regangan *inelastis* dengan regangan *plastis* $(\tilde{\epsilon}^{pl})$ dapat dilihat pada persamaan 2.8 - 2.9.

$$\tilde{\varepsilon}_c^{pl} = \tilde{\varepsilon}_c^{in} - \frac{d_c}{(1 - d_c)} \frac{\sigma_c}{E_0} \tag{2.8}$$

$$\tilde{\varepsilon}_t^{pl} = \tilde{\varepsilon}_t^{ck} - \frac{d_t}{(1-d_t)} \frac{\sigma_t}{E_0} \tag{2.9}$$

Keterangan : $\tilde{\varepsilon}_c^{pl}$ = tegangan regangan tekan *plastis* beton,

 $\tilde{\varepsilon}_c^{in}$ = tegangan regangan tekan *inelastis* beton,

 $\tilde{\varepsilon}_t^{pl}$ = tegangan regangan tarik *plastis* beton,

 $\tilde{\varepsilon}_t^{ck}$ = tegangan regangan tarik retak beton,

 d_c = compressive damage parameter

 d_t = tension damage parameter

 σ_c = tegangan tekan beton (MPa)

 σ_t = tegangan tarik beton (MPa)

 E_0 = modulus elastisitas beton (MPa)

Kerusakan (damage) pada concrete damage plasticity pada tarik dan tekan dapat didefinisikan sebagai perbandingan kondisi beton terhadap undamaged dan damage, sehingga definisi dari keruntuhan beton (d_c atau d_t) pada persamaan dan dapat dihitung dengan formulasi persamaan 2.10- 2.11

$$d_c = 1 - \frac{\sigma_c}{\sigma_{cu}} \qquad (2.10)$$

$$d_t = 1 - \frac{\sigma_t}{\sigma_{to}} \tag{2.11}$$

Keterangan : d_c = parameter kerusakan tekan beton,

 d_t = parameter kerusakan tarik beton,

 σ_{cu} = tegangan tekan ultimit beton (MPa)

 σ_{t0} = tegangan tarik ultimit beton (MPa)

 σ_c = tegangan tekan beton (MPa)

 σ_t = tegangan tarik beton (MPa)

2.9 Penelitian Terdahulu

Simulasi Analisis element Hingga kolom beton bertulang dengan perlakuan GFRP ataupun tanpa perkuatan GFRP telah dilakukan oleh beberapa peneliti sebelumnya yang mungkin adanya keterkaitan dengan penelitian yang akan dilakukan, sehingga dapat menjadi bahan acuan atau pertimbangan yang dapat menjadi referensi dalam menulis maupun mengkaji penelitian ini. Berikut adalah rangkuman beberapa penelitian yang menjadi acuan dalam referensi antara lain sebagai berikut :

- 1) Arya Putra Limoto, (2022). Meneliti tentang "Perilaku Lentur Balok Beton Bertulang Perkuatan GFRP Dengan Menggunakan Finnite Element Method (FEM)" untuk mengetahui seberapa besar pengaruh perkuatan GFRP balok beton bertulang maka dilakukan pengujian karakteristik atau perilaku beton bertulang secara eksperimental di laboratorium.
- 2) Irmawati Gailea, (2023), meneliti tentang "Model Analisis Variasi Rasio Tulangan Memanjang Pada Balok Beton Bertulang Dengan Menggunakan *Finnite Element Method (FEM)*" karakteristik atau perilaku beton pada umumnya diperoleh dengan pengujian eksperimental di laboratorium. Pengujian ini akan memberikan gambaran mengenai respon strukktur berdasarkan keadaan nyata.

Aryanti Musa, (2023), meneliti tentang "Model Balok Beton Bertulang Dengan Variasi Penampang Dengan Menggunakan *Finnite Element Method (FEM)*" untuk mengetahui tegangan dan regangan beton pada umumnya diperoleh dengan pengujian eksperimental di laboratorium. Namun pada dasarnya, untuk bisa mendapatkan data

yang valid, simulasi tersebut perlu diuji dengan percobaan dan biaya yang besar, tenaga yang tidak sedikit, waktu yang lama, serta pelaksanaan yang terbilang sulit. Untuk itu dibutuhkan pendekatan yang tidak memakan biaya yang besar dan waktu yang lama.

BAB III

METODOLOGI PENELITIAN

3.1 Jenis Penelitian

Metode yang digunakan dalam penyusunan dan penulisan tugas akhir ini adalah berupa studi literatur. Dengan cara mengumpulkan berbagai macam teori-teori dan pembahasan melalui buku-buku, dan peraturan-peraturan yang digunakan sebagai acuan seperti Standar Nasional Indonesia (SNI) serta jurnal-jurnal yang berkaitan dengan permasalahan yang akan dibahas. Referensi yang di dapat diantaranya berupa prosedur mengenai penggunaan program komputer *FEA* (*Finnite Element Analysis*) terutama program Abaqus/CAE versi 6.14.

3.2 Waktu dan Lokasi Penelitian

3.2.1 Waktu Penelitian

Waktu penelitian "Prediksi Perilaku Nonlinier Hubungan Tegangan Regangan Pada Kolom Persegi Dengan Variasi Rasio Tulangan Memanjang Menggunakan Abaqus" ini direncakan setelah seminar proposal dilaksanakan atau sebagaimana dijelaskan pada tabel 3.1 :

Tabel 3.1 Rencana Waktu Penelitian

No.	lo. Uraian		Bulan								
1	Penyusunan proposal dan proses bimbingan	10	11	12	1	2	3	4	5	6	7
2	Pengimputan data										
3	Analisis dan pengolahan data										
4	Penyususnan skripsi										
5	Seminar hasil										
6	Perbaikan										
7	Ujian tutup										

3.2.2 Lokasi Penelitian

Lokasi penelitian ini tepatnya berada laboratorium *Computer Aided Angineering* (cae) Universitas Khairun Ternate.

3.3 Data Material

3.3.1 Hasil Pendekatan Analisis Konstitutif Material Beton

Analisis konstitutif material beton tersebut untuk mendapatkan perilaku material beton dalam bentuk tegangan regangan tekan dan tegangan regangan tarik, yang nanatinya dipakai untuk mencari nilai *inelastic strai, cracking strain* dan parameter kerusakan beton.

3.3.2 Tegangan Regangan Tekan Beton

Tegangan ultimet tekan beton adalah : σ_{cu} = 22,2419 MPa.

Modulus elastisitas beton adalah:

$$E_c$$
 = 4700 $\sqrt{f'_c}$ = 4700 $\sqrt{22,2419}$ = 22165,82 MPa

Menghitung tegangan tekan beton.

$$\sigma_c = \frac{22165,82 \times 0,0001}{1 + \left(\frac{22165,82 \times 0,002}{22,2419} - 2\right) \cdot \left(\frac{0,0001}{0,002}\right) + \left(\frac{0,0001}{0,002}\right)^2} = 2,211809 \text{ MPa}$$

Hasil dari perhitungan selanjutnya di sajikan dalam bentuk tabel dan grafik sebagai berikut

Tabel 3.2 Parameter Konstitutif Tekan Beton

	ε _c	σ_c
1	0.0001	2.2117
2	0.0002	4.0325
3	0.0003	6.5097
4	0.0004	8.5356
5	0.0005	10.4473
6	0.0006	12.2238

	ε _c	σ_c
26	0.0026	21.4935
27	0.0027	21.2716
28	0.0028	21.0340
29	0.0029	20.7838
30	0.003	20.5239
31	0.0031	20.2567

	ε _c	σ _c
51	0.0051	15.1019
52	0.0052	14.8866
53	0.0053	14.676
54	0.0054	14.4699
55	0.0055	14.2684
56	0.0056	14.0714

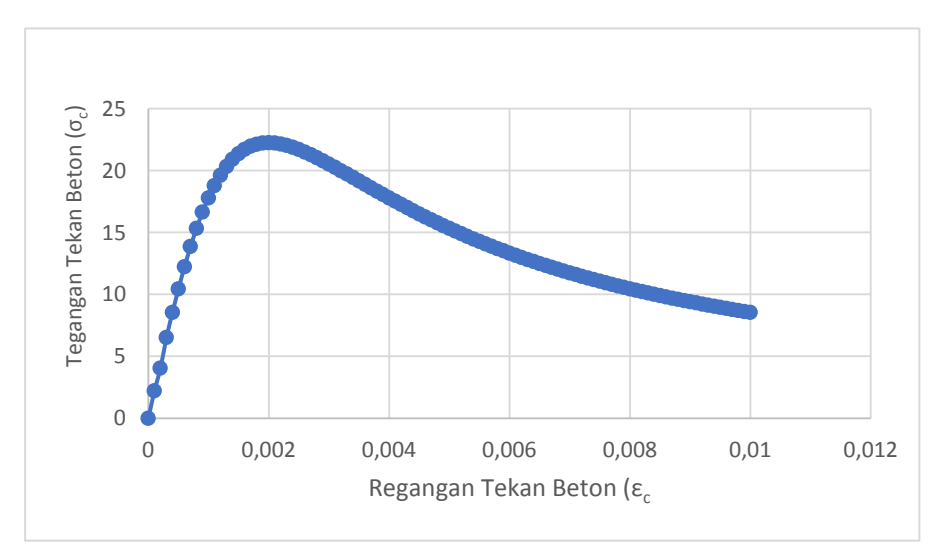
	ε _c	σ_c
76	0.0076	10.9285
77	0.0077	10.8045
78	0.0078	10.6829
79	0.0079	10.5639
80	0.008	10.4473
81	0.0081	10.3331

23	
CO	σς
0.0007	13.8515
8000.0	15.3220
0.0009	16.6313
0.001	17.7800
0.0011	18.7725
0.0012	19.6158
0.0013	20.3189
0.0014	20.8924
0.0015	21.3475
0.0016	21.6957
0.0017	21.9485
0.0018	22.1167
0.0019	22.2106
0.002	22.2400
0.0021	22.2134
0.0022	22.1390
0.0023	22.0238
0.0024	21.8742
0.0025	21.6957
	0.0008 0.0009 0.001 0.0012 0.0013 0.0014 0.0015 0.0016 0.0017 0.0018 0.0019 0.002 0.0021 0.0022 0.0023 0.0024

	εc	σc
32	0.0032	19.9842
33	0.0033	19.7082
34	0.0034	19.4303
35	0.0035	19.1517
36	0.0036	18.8734
37	0.0037	18.5956
38	0.0038	18.3215
39	0.0039	18.0492
40	0.004	17.7800
41	0.0041	17.5145
42	0.0042	17.2528
43	0.0043	16.9954
44	0.0044	16.7423
45	0.0045	16.4938
46	0.0046	16.2499
47	0.0047	16.0107
48	0.0048	15.7764
49	0.0049	15.5468
50	0.005	15.3220

	23	σς
57	0.0057	13.8787
58	0.0058	13.6903
59	0.0059	13.5062
60	0.006	13.3261
61	0.0061	13.1501
62	0.0062	12.9779
63	0.0063	12.8096
64	0.0064	12.6451
65	0.0065	12.4841
66	0.0066	12.3268
67	0.0067	12.1728
68	0.0068	12.0223
69	0.0069	11.8750
70	0.007	11.7309
71	0.0071	11.5899
72	0.0072	11.4519
73	0.0073	11.3168
74	0.0074	11.1846
75	0.0075	11.0552

	23	σς
82	0.0082	10.2211
83	0.0083	10.1114
84	0.0084	10.0039
85	0.0085	9.8984
86	0.0086	9.7951
87	0.0087	9.6937
88	0.0088	9.5943
89	0.0089	9.4968
90	0.009	9.4011
91	0.0091	9.3072
92	0.0092	9.2151
93	0.0093	9.1247
94	0.0094	9.0360
95	0.0095	8.9489
96	0.0096	8.8633
97	0.0097	8.7793
98	0.0098	8.6968
99	0.0099	8.6158
100	0.01	8.5362



Gambar 3.1 Tegangan regangan tekan beton

Dari gambar 3.1 Menjelaskan bagaimana perilaku beton saat diberi beban, dimana saat beban bekerja sebelum tercapainya beban ultimate tegangan regangan tekan beton masih dalam kondisi linier namun setelah tercapainya beban ultimate tegangan regangan tekan beton bersifat nonlinier dimana beban perlahan menurun sementara regangan terus bertambah dan membentuk pola melengkung.

3.3.3 Tegangan Regangan Tarik Beton

Tegangan Ultimate Tarik beton adalah : σ_{t0} = 2,224 MPa

Modulus Elastisitas beton adalah:

$$E_c$$
 = 4700 $\sqrt{f'_c}$ = 4700 $\sqrt{22,2419}$ = 22165,82 Mpa

Menghitung Tegangan Tarik Beton:

$$\sigma_t = 2,224. \left(\frac{0,0001}{0,0005}\right)^{0,4} = 1,1698 \text{ MPa}$$

Hasil dari perhitungan analisis selanjutnya di sajikan dalam bentuk tabel dan grafik sebagai berikut :

Tabel 3.3 Parameter Konstitutif Tarik Beton

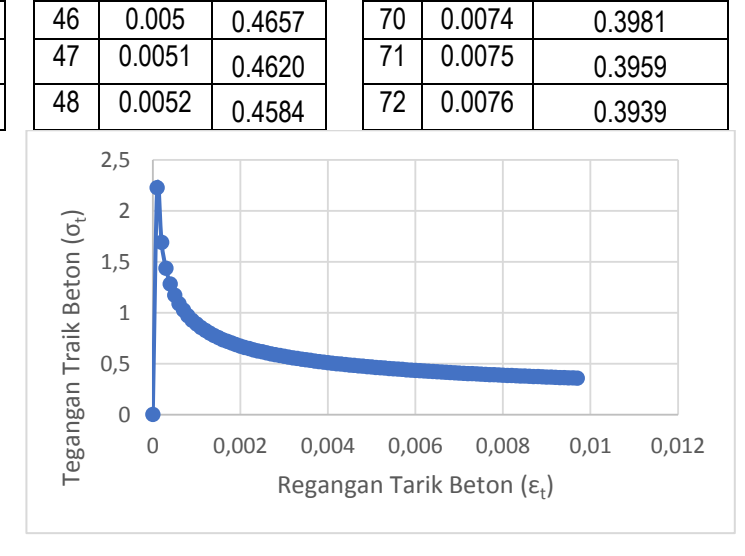
	ε _t	σ_t
1	0.0005	1.1698
2	0.0006	1.0875
3	0.0007	1.0225
4	0.0008	0.9693
5	0.0009	0.9247
6	0.001	0.8865
7	0.0011	0.85341
8	0.0012	0.8242
9	0.0013	0.7982
10	0.0014	0.7749
11	0.0015	0.7538
12	0.0016	0.7346
13	0.0017	0.7170
14	0.0018	0.7008
15	0.0019	0.6858
16	0.002	0.6718
17	0.0021	0.6589
18	0.0022	0.6467
19	0.0023	0.6353
20	0.0024	0.6246
21	0.0025	0.6145

	Εt	O_t
25	0.0029	0.5791
26	0.003	0.5713
27	0.0031	0.5638
28	0.0032	0.5567
29	0.0033	0.5499
30	0.0034	0.5434
31	0.0035	0.5371
32	0.0036	0.5311
33	0.0037	0.5253
34	0.0038	0.5197
35	0.0039	0.5143
36	0.004	0.5092
37	0.0041	0.5041
38	0.0042	0.4993
39	0.0043	0.4946
40	0.0044	0.4901
41	0.0045	0.4857
42	0.0046	0.4815
43	0.0047	0.4773
44	0.0048	0.4733
45	0.0049	0.4695

49 0.0053 0.4549	
0.4048	9
50 0.0054 0.4516	6
51 0.0055 0.4483	3
52 0.0056 0.4450)
53 0.0057 0.4419)
54 0.0058 0.4388	3
55 0.0059 0.4358	3
56 0.006 0.4329)
57 0.0061 0.430	1
58 0.0062 0.4273	3
59 0.0063 0.424	5
60 0.0064 0.4219)
61 0.0065 0.4193	3
62 0.0066 0.4167	7
63 0.0067 0.4142	2
64 0.0068 0.4118	3
65 0.0069 0.4094	1
66 0.007 0.4070)
67 0.0071 0.4047	7
68 0.0072 0.4025	5
69 0.0073 0.4003	3

	εt	σ_t
73	0.0077	0.3918
74	0.0078	0.3898
75	0.0079	0.3878
76	0.008	0.3859
77	0.0081	0.3839
78	0.0082	0.3821
79	0.0083	0.3802
80	0.0084	0.3784
81	0.0085	0.3766
82	0.0086	0.3749
83	0.0087	0.3731
84	0.0088	0.3714
85	0.0089	0.3697
86	0.009	0.3681
87	0.0091	0.3665
88	0.0092	0.3649
89	0.0093	0.3633
90	0.0094	0.3617
91	0.0095	0.3602
92	0.0096	0.3587
93	0.0097	0.3572

22	0.0026	0.6049
23	0.0027	0.5958
24	0.0028	0.5872



Gambar 3.2 Tegangan regangan tarik beton

Pada gambar 3.2 Menjelaskan perilaku beton ketika diberi beban tarik, beban tarik jauh lebih kecil dari beban tekan. Dan memiliki perilaku yang berbeda dengan beban tekan dimana saat beban bekerja sebelum tercapainya beban ultimate tegangan regangan tarik beton dalam kondisi yang linier sempurna kemudian setelah tercapainya beban ultimate tegangan regangan tarik beton bersifat nonlinier dimana beban dimana beban menurun drastis sementara regangan terus bertambah dan membentuk pola melengkung.

Tabel 3.4 Parameter Konstitutif Material Baja

	٤s	f s
1	0	245.5
2	0.01964	245.5
3	0.02	247.5333
4	0.021	252.9424
5	0.022	258.0233
6	0.023	262.8029
7	0.024	267.3051
8	0.025	271.5515
9	0.026	275.5614
10	0.027	279.3522
11	0.028	282.9398

	& s	f s
32	0.049	328.5432
33	0.05	329.8102
34	0.051	331.0242
35	0.052	332.1875
36	0.053	333.3026
37	0.054	334.3715
38	0.055	335.3963
39	0.056	336.3788
40	0.057	337.3209
41	0.058	338.2242
42	0.059	339.0903

	٤s	f s
63	0.08	350.802
64	0.081	351.1261
65	0.082	351.4342
66	0.083	351.7266
67	0.084	352.0039
68	0.085	352.2665
69	0.086	352.5148
70	0.087	352.7493
71	0.088	352.9704
72	0.089	353.1785
73	0.09	353.374

	E s	f s
12	0.029	286.3383
13	0.03	289.5607
14	0.031	292.619
15	0.032	295.5237
16	0.033	298.2849
17	0.034	300.9116
18	0.035	303.412
19	0.036	305.7937
20	0.037	308.0639
21	0.038	310.2288
22	0.039	312.2947
23	0.04	314.2669
24	0.041	316.1506
25	0.042	317.9506
26	0.043	319.6714
27	0.044	321.3169
28	0.045	322.9812
29	0.046	324.3977
30	0.047	325.8398
31	0.048	327.2207

	E s	f s
43	0.06	339.9208
44	0.061	340.7171
45	0.062	341.4805
46	0.063	342.2123
47	0.064	342.9138
48	0.065	343.5861
49	0.066	344.2302
50	0.067	344.8474
51	0.068	345.4384
52	0.069	346.0043
53	0.07	346.5461
54	0.071	347.0644
55	0.072	347.5602
56	0.073	348.0343
57	0.074	348.4874
58	0.075	348.9201
59	0.076	349.3332
60	0.077	349.7273
61	0.078	350.1031
62	0.079	350.4611

E s	f s
0.091	353.5571
0.092	353.7284
0.093	353.888
0.094	354.0364
0.095	354.1738
0.096	354.3005
0.097	354.4169
0.098	354.5231
0.099	354.6196
0.1	354.7064
0.101	354.784
0.102	354.8525
0.103	354.9121
0.104	354.9631
0.105	355.0058
0.106	355.0402
0.107	355.0666
0.108	355.0853
0.109	355.0964
0.11	355.1
	0.091 0.092 0.093 0.094 0.095 0.096 0.097 0.098 0.099 0.1 0.101 0.102 0.103 0.104 0.105 0.106 0.107 0.108

a) Beton

Data material beton yang digunakan dalam penelitian ini adalah *Concrete Damage Plasticity*. Selain itu data lain yang digunakan adalah *density*, material elastis, konstitutif material beton dalam kondisi tekan dan tarik, dan parameter *plasticity*. Parameter *density*, material elastis dan *plasticity* yang akan dimasukan dalam penelitian ini tertera pada tabel 3.5 dan 3.6.

Tabel 3.5 Parameter density dan material elastis

Density	Modulus Elastisitas	Poison Ratio
2400 kg/cm ²	$4700\sqrt{{f'}_c}$ MPa	0.2

Tabel 3.6 Parameter *Plasticity*

Ψ (*)	36
С	0.1
σ_{co}/σ_{bo}	1.16
K _c	0.667
Viscosity Parameter	0

b) Tulangan Baja

Data tulangan baja yang dimasukan dalam penilitian ini berupa *density*, dan material elastis baja seperti yang ditunjukan dalam tabel 3.7.

Tabel 3.7 Parameter Density dan Elastis Baja

Density	Modulus Elastisitas	Poisson Ratio
7800 kg/cm ²	200000 Mpa	0.3

Untuk parameter lain seperti *konstitutif* material baja yang berupa tegangan dan regangan *plasticity* dilakukan perhitungan menggunakan persamaan yang di usulkan oleh Park dan Paulay, untuk data sifat mekanis menggunakan SNI 2052:2017 berikut.

Tabel 3.8 Sifat Mekanis Baja (Sumber: SNI 2052:2017)

	Kuat Luluh/Leleh	Kuat Tarik (TS)	Regangan dalam 200
Kelas Baja Tulangan	(YS)		mm, Min.
	MPa	MPa	%
BJTP 280 (Tul. Geser)	Min. 280	Min. 350	11
BJTS 420B (Tul. Long)	Min. 420	Min. 525	14

Modulus Elastisitas Baja = 200000 Mpa

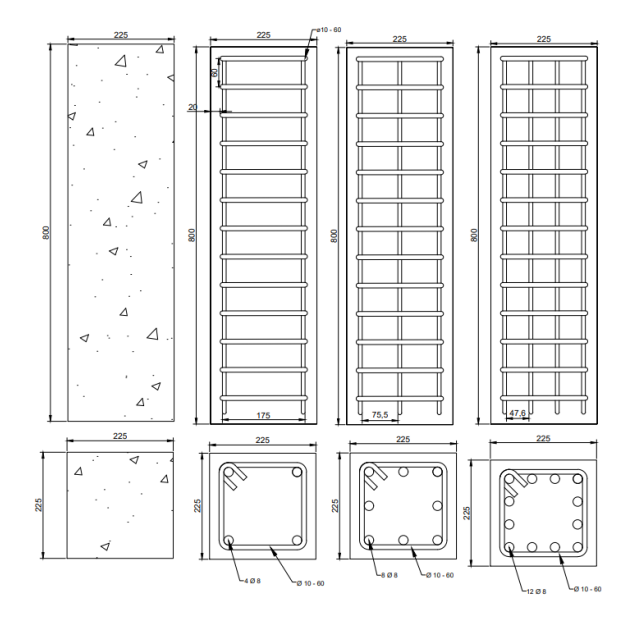
3.4 Peralatan Penelitian

Analisis numerik yang akan dilakukan dalam penelitian ini menggunakan software Abaqus CAE 6.14.

3.5 Objek Penelitian

Objek yang ditinjau pada penelitian ini lebih difokuskan pada penggunaan program komputer FEA (Finnite Element Analysis) yang nantinya dipakai dalam mensimulasikan perilaku lentur balok beton bertulang, dan kemudian dari hasil analysis tersebut dibandingkan dengan hasil penelitian yang dilakukan secara eksperimental kemudian dituangkan dalam bentuk grafik. Perbandingan yang dilakukan dari penelitian ini, adalah berupa data-data beban dan lendutan dari hasil penelitian tersebut.

Dalam penyajian bahasan mengenai perilaku lentur balok beton bertulang dengan perkuatan *GFRP* menggunakan *FEM* (*Finnite Element Analysis*) pada tugas akhir ini, menggunakan suatu model beton bertulang dengan struktur perletakan sederhana dan beban terpusat, seperti yang terlihat pada Gambar 3.3.



Gambar 3.3 Model Kolom Persegi yang dianalisis

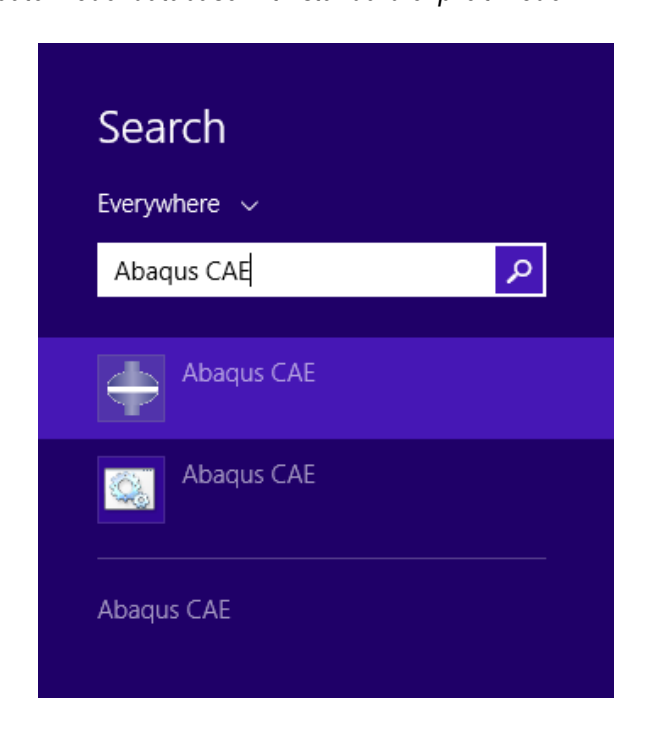
Penelitian ini dilakukan menggunakan 4 jenis model kolom persegi dengan panjang kolom 800 mm.

Tabel 3.9 Model Benda Uji Penelitian (Sumber : ABAQUS manual)

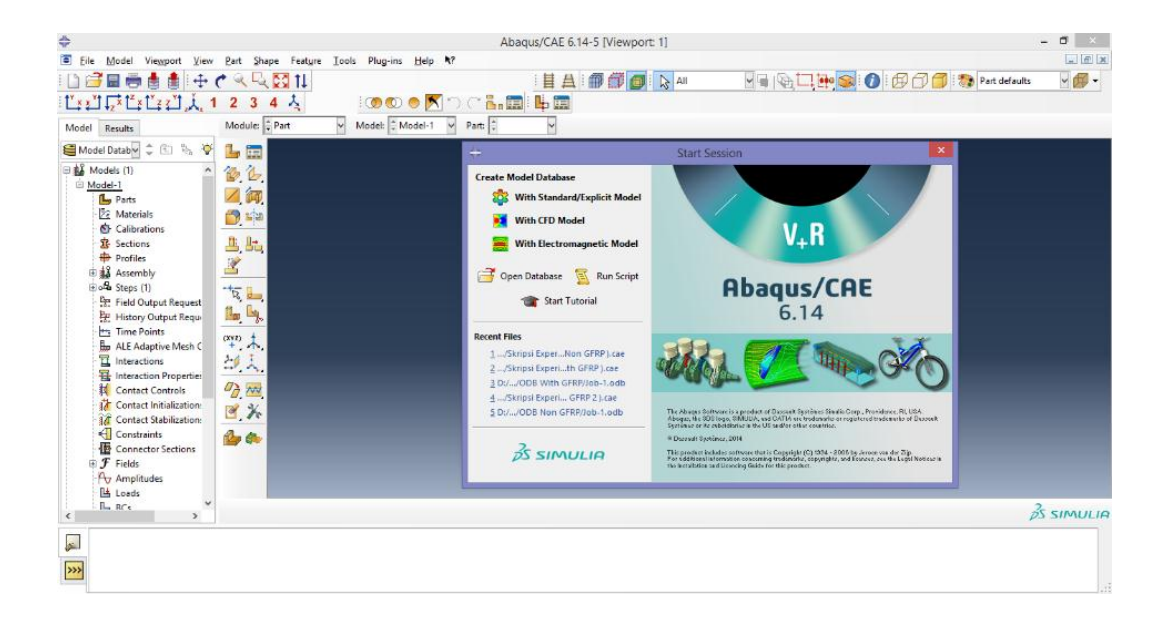
Model Kolom	Tulangan Memanjang	Tulangan Sengkang
A	-	-
В	4 Ø10	Ø10-60
С	8 Ø10	Ø10-60
D	12 Ø10	Ø10-60

3.6 Pemodelan Program Abaqus

Untuk mengoperasikan program Abaqus, dapat dibuka langsung pada icon melalui desktop atau panel *start* seperti yang disajikan pada gambar 3.4 setelah itu klik icon Abaqus/CAE maka akan muncul tampilan seperti yang terdapad pada gambar 3.5 kemudian klik *create model database with standard/explicit model*.



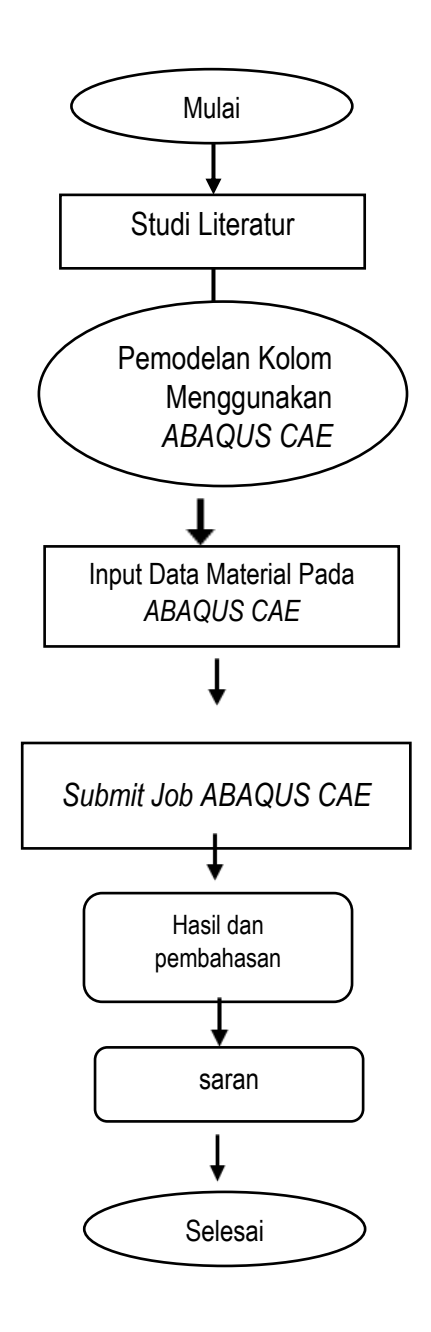
Gambar 3.4 Membuka Abaqus/CAE v.614



Gambar 3.5 Tampilan Awal Abaqus/CAE v.614

(Sumber: Abaqus/CAE v.614)

3.7 Diagram Alir Penelitian



Gambar 3.6 Diagram Alir Penelitian

BAB IV

HASIL DAN PEMBAHASAN

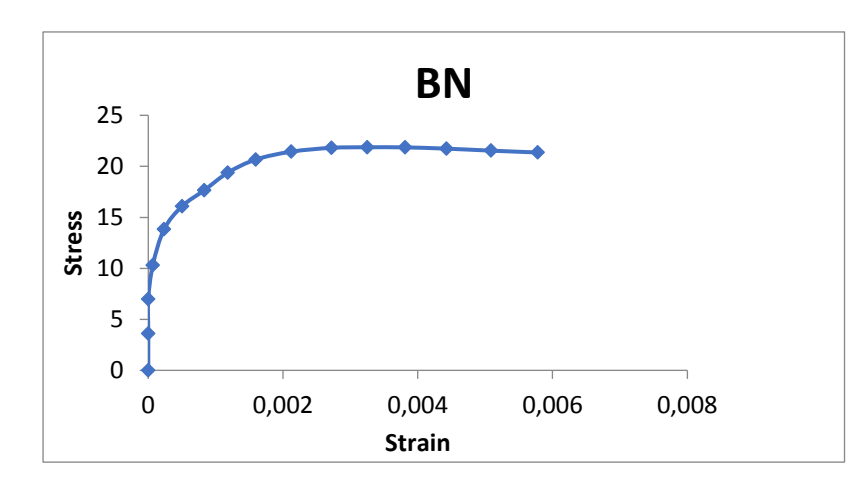
4.1 Hasil Analisa Elemen Hingga ABAQUS 6.14

Hasil dari simulasi dan analisis dengan menggunakan software abaqus 6.14 yang di tinjau pada kolom 1 (kolom polos) dan 3 (kolom dengan jumlah 8 tulangan utama) divalidasi dengan hasil experimental dari Dominggus Bakarbessy (2008). Menilai kesamaan pola retak yang terjadi, serta tegangan dan regangan yang terjadi pada speciment kolom.

4.1.1 kolom polos

Tabel 4.1 Tegangan Regangan Kolom Polos

Kolom Polos		
Ec	σς	
0	0	
0	3.61501	
0	6.9781	
0.0000674	10.3207	
0.000235	13.8356	
0.000503	16.0976	
0.00083	17.6524	
0.001182	19.3846	
0.001595	20.668	
0.002122	21.4367	
0.002721	21.8152	
0.00325	<mark>21.8708</mark>	
0.003812	21.8589	
0.004425	21.7342	
0.005088	21.5392	
0.005781	21.3569	



Gambar 4.1 Hubungan Tegangan Regangan
Kolom Polos

Pada gambar 4.1 dapat dilihat tegangan regangan tekan

kolom polos yang terjadi pada saat menerima beban, dari gambar terlihat kuat tekan ultimate beton 21,87 Mpa sementara regangan ultimate beton 0,00325 mm dari grafik

tersebut terilhat perilaku beton diawal pembebanan tegangannya meningkang derastis sampai akhirnyaa mengalami mengalami keruntuhan akibat tegangan yang semakin meningkat, sebelum mencapai beban ultame tegangan regangan tekan beton dalam kondisi yang linier kemudian setelah tercapainya beban ultimate tegangan regangan tekan beton bersifat nonlinier dimana beban menurun sementara regangan terus bertambah.

4.1.2 kolom 8 tulangan utama

Tabel 4.2 Tegangan Regangan Kolom 8 Tulangan Utama

	_		_		_
FEM					
	ες	σ C			
1	0	0	25	0.026659	23.7309
2	0.00012	3.22002	26	0.028761	23.2303
3	0.000348	4.87725	27	0.030934	22.7444
4	0.00057	6.10577	28	0.033107	22.377
5	0.000732	6.46079	29	0.035362	21.9811
6	0.000926	7.75361	30	0.037742	21.448
7	0.001268	11.1782	31	0.040136	20.8604
8	0.001636	14.6114	32	0.042489	20.4012
9	0.002068	17.9405	33	0.044836	19.986
10	0.002546	20.8402			
11	0.003062	23.4744			
12	0.003642	25.7796			
13	0.004375	27.8422			
14	0.00533	29.5292			
15	0.005441	30.4996			
16	0.005595	<mark>30.5137</mark>			
17	0.010381	29.759			
18	0.012443	28.6655			
19	0.014506	27.5641			
20	0.01648	26.7007			
21	0.018453	25.9206			

22

23

0.020474

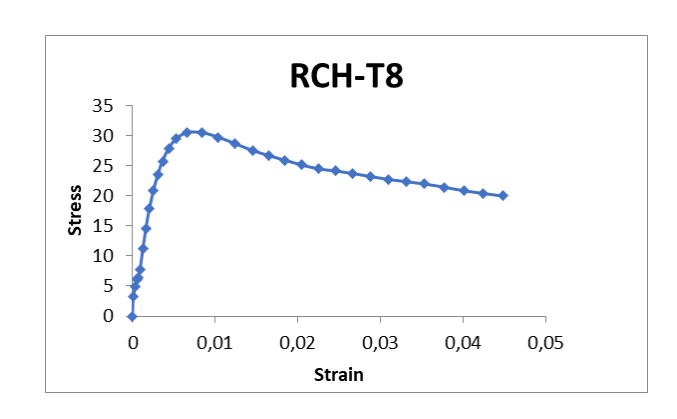
0.022565

0.024588

25.1435

24.4855

24.141



Gambar 4.2 Hubungan Tegangan Regangan Kolom 8 Tulangan Utama

Pada gambar 4.2 Dapat diketahui diagram tegangan regangan tekon beton kolom dengan jumlah 8 tulangan utama yang terjadi pada saat menerima beban, dari gambar terlihat kuat tekan ultimate beton 30,51 Mpa sementara regangan ultimate beton 0,005595 mm. Dari grafik tersebut terlihat perilaku beton diawal pembebanan tegangannya meningkat yang diakibatkan menerima beban terlebih dahulu sampai akhirnya mengalami keruntuhan akibat tegangan yang semakin meningkat, sebelum tercapainya beban ultimate tegangan regangan kuat tekan beton dalam kondisi yang linier setelah tercapainya beban ultimate bersifat nonlinier dimana beban menurun drastis sementara regangan terus bertambah.

4.2 Perilaku Nonlinier

Analiasis nonlinier secara material dan geometris

Analisis nonlinier suatu struktur merupakan langkah anilisis nonlinier umum. Analisis ini juga dapat disebut *analisis beban - perpindahan material nonlinier*. Semua informasi yang diperlukan mengenai perilaku kolom diperkirakan dari analisis material nonlinier. Informasi tersebut terdiri dari beban ultimit, mode kegagalan, dan tegangan regangan. Komponen kolom mempunyai kurva tegangan regangan nonlinier atau kurva tegangan regangan linier-nonlinier.

Analisis nonlinier secara material (dengan atau tanpa pertimbangan non-linier geometrik) struktur kolom dilakukan agar dapat mengetahui respon keseluruhan komponen kolom. Dari sudut pandang numerik, penerapan kurva tegangan regangan nonlinier pada material baja dan beton konstruksi melibatkan integrasi keadaan material pada titik integrasi seiring dengan peningkata waktu selama analisis material nonlinier.

Penerapan kurva tegangan regangan nonlinier harus memberikan matriks kekakuan material yang akurat untuk digunakan dalam membentuk persamaan kesetimbangan nonlinier dari formulasi elemen hingga. Model konstitutif yang terkait dengan komponen kolom mempertimbangkan respon elastis dan inelastis material.

Dalam model respons inelastis yang disediakan di *ABAQUS* (pada bagian inelastis). Pemisahan ini didasarkan pada asumsi bahwa terdapat hubungan aditif antara laju regangan bagian elastis dan inelastis. Model material konstitutif yang digunakan sebagian besar program komputer elemen hingga tujuan umum yang tersedia biasanya diakses oleh elemen padat atau struktural manapun.

Respons elastis dan inelastis dibedakan dengan memisahkan deformasi menjadi bagian yang dapat dipulihkan (elastis) dan yang tidak dapat dipulihkan. Akses ini dilakukan secara mandiri pada setiap titik perhitungan konstitutif. Titik-titik ini merupakan titik integrasi numerik dalam unsur-unsur. Model konstitutif memperoleh keadaan pada titik yang dipertimbangkan pada awal kenaikan diri database material yang ditentukan dalam langkah tersebut. Model konstitutif memperbaharui keadaan respon material hingga akhir pertambahan.

Analisis Nonlinier secara geometri merupakan langkah analisis nonlinier yang bersifat umum. Analisanya biasa juag disebut ANALISIS GABUNGAN NONLINIER SECARA MATERIAL DAN GEOMETRIK.

Perilaku nonlinier pada kolom struktur terjadi ketika deformasi kolom tidak lagi proporsional dengan gaya yang diterapkannya. Hal ini bisa terjadi karena berbagai faktor seperti penambahab beban, efek geser, atau ketidaksempurnaan geometriks. Dalam kasus ini, analisis nonlinier diperlukan untuk memprediksi perilaku kolom dengan akurat. Metode yang umum digunakan untuk memprediksi perilaku nonlinier kolom termasuk analisis elemen hingga nonliner atau pendekatan analitis yang rumit.

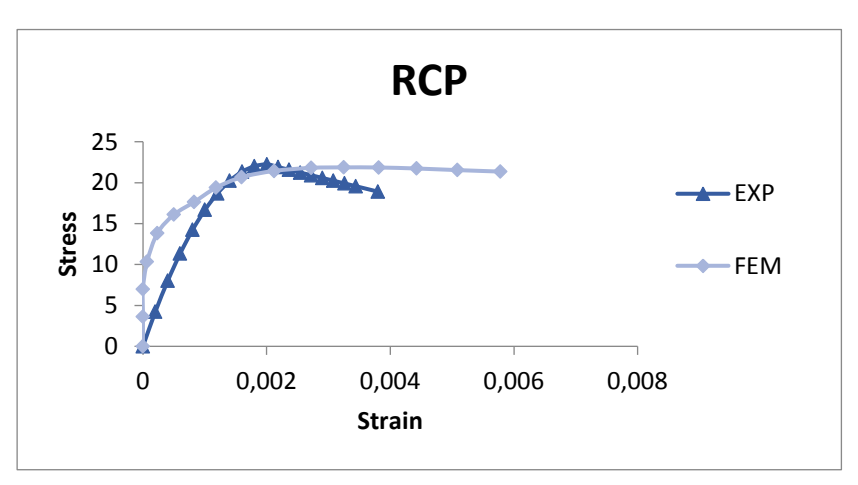
4.2.1 perbandingan Experimental & FEM (kolom polos)

Tabel 4.3 Hasil Simulasi Software

		_	
Experi	mental		
ες	Σ c		
0	0	0.0021862	21.90804
0.0002007	4.225912	0.0023655	21.57443
0.0004014	8.00699	0.0025448	21.24083
0.0006021	11.34324	0.0027241	20.90723
0.0008027	14.23465	0.0029034	20.57363
0.0010034	16.68123	0.0030827	20.24002
0.0012041	18.68298	0.0032621	19.90642
0.0014041	20.23989	0.0034414	19.57282
0.0016055	21. 35197	0.0038	18.90562
0.0018055	22.01922		
0.0020069	<mark>22.24164</mark>		

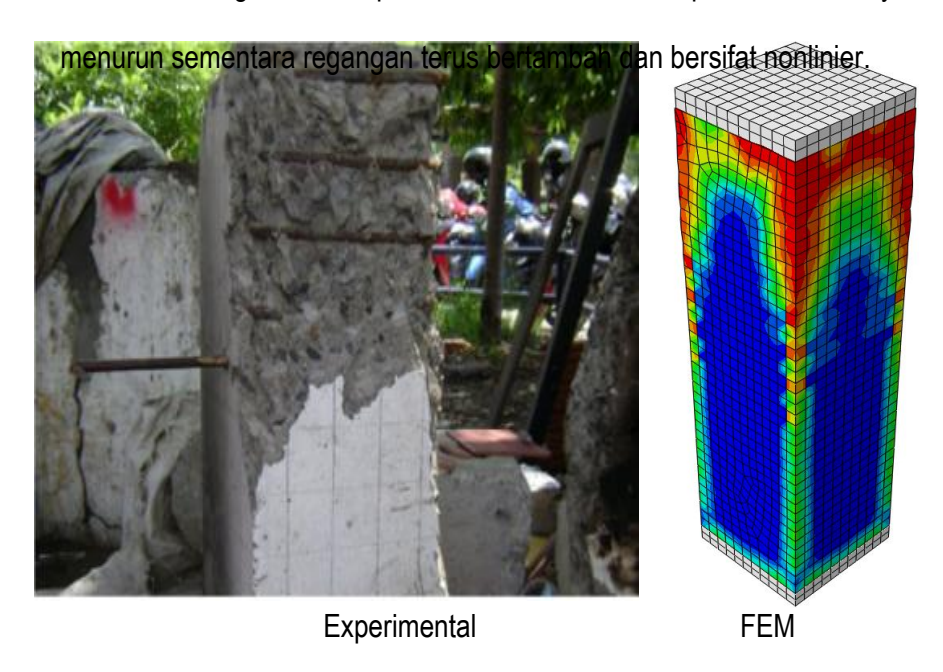
И		
Σ c		
0	0.002122	21.4367
3.61501	0.002721	21.8152
6.9781	0.00325	<mark>21.8708</mark>
10.3207	0.003812	21.8589
13.8356	0.004425	21.7342
16.0976	0.005088	21.5392
17.6524	0.005781	21.3569
19.3846		
20.668		
	Σc 0 3.61501 6.9781 10.3207 13.8356 16.0976 17.6524 19.3846	Σc 0 0.002122 3.61501 0.002721 6.9781 0.00325 10.3207 0.003812 13.8356 0.004425 16.0976 0.005088 17.6524 0.005781 19.3846

dan Experimental RCP



Gambar4.3 perbandingan kolom polos FEM dan Experimental

Dari grafik tersebut memperlihatkan perilaku kolom polos ketika diberi beban, berdasarkan hasil experimental saat beban bekerja pada kolom beban perlahan-lahan meningkat sampai pada tegangan puncak 22,24 Mpa dan regangan 0,0020 mm yang merupakan titik keruntuhan. Sementara pada hasil pemodelan tegangan puncak berada pada 21,87 Mpa dan regangan 0,0032 mm. Hasil pada experimental dan pemodelan mengalami sedikit perbedaan namun diakhir pembebanan nilai yang dikeluarkan mendekati dengan hasil experimental. Setelah mencapai keruntuhannya beban perlahan



Gambar 4.4 Perbandingan pola retak Exprimental dan FEM (BN)

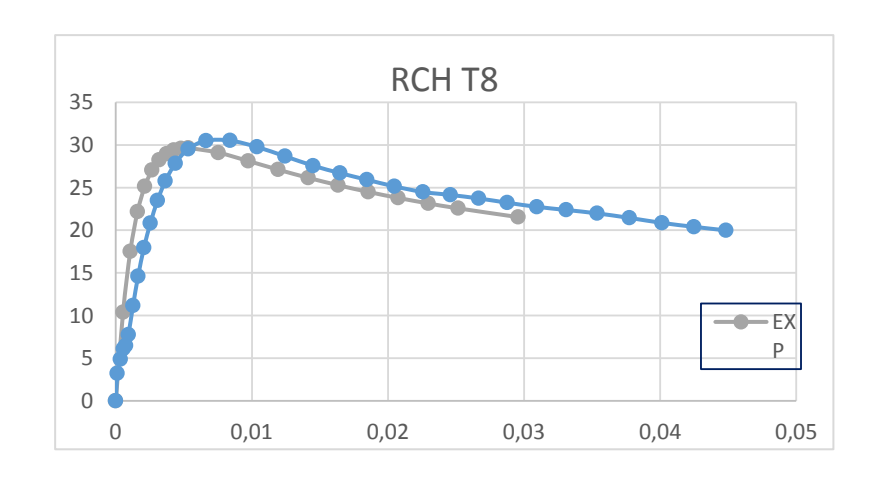
Untuk perbandingan pola keretakan yang terjadi pada hasil experimental dan Finnite Element Method dari setiap speciment kolom polos yang di uji pada penelitian experimental. Pola keretakan kolom polos pada simulasi dan experimental hampir sama dengan adanya garis retak.

4.2.2 Perbandingan Experimental & FEM (Kolom 8 Tulangan Utama)

Tabel 4.4 Hasil Simulasi Software dan Experimental RCH T 8

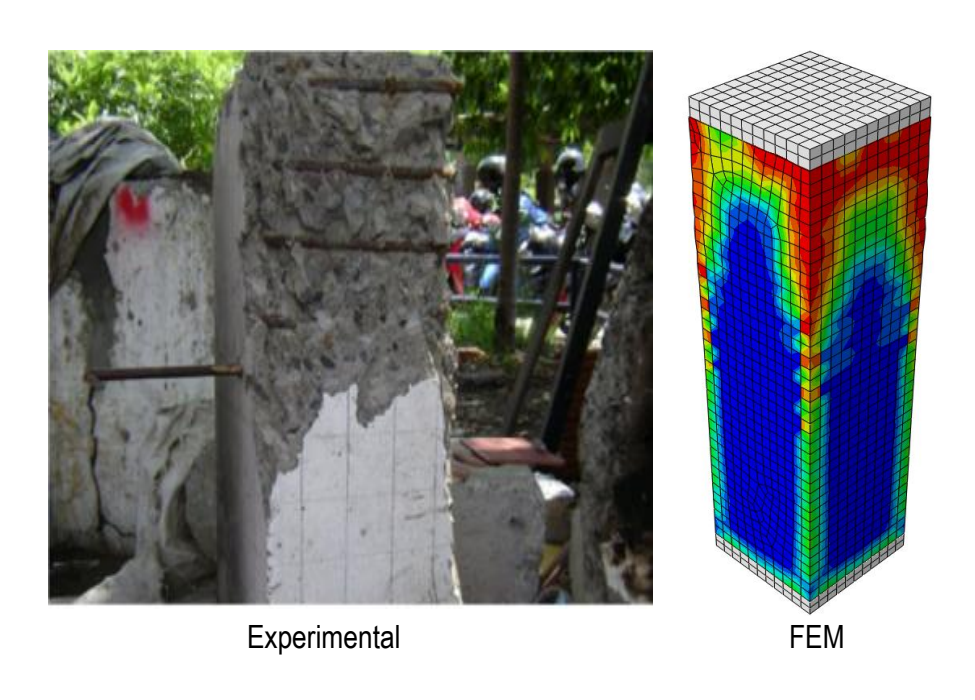
	FEM		
	SC.	σς	
1	0	0	
2	0.00012	3.22002	
3	0.000348	4.87725	
4	0.00057	6.10577	
5	0.000732	6.46079	
6	0.000926	7.75361	
7	0.001268	11.1782	
8	0.001636	14.6114	
9	0.002068	17.9405	
10	0.002546	20.8402	
11	0.003062	23.4744	
12	0.003642	25.7796	
13	0.004375	27.8422	
14	0.00533	29.5292	
15	0.005441	30.4996	
16	<mark>0.005595</mark>	30.5137	
17	0.010381	29.759	
18	0.012443	28.6655	
19	0.014506	27.5641	
20	0.01648	26.7007	
21	0.018453	25.9206	
22	0.020474	25.1435	
23	0.022565	24.4855	
24	0.024588	24.141	
25	0.026659	23.7309	
26	0.028761	23.2303	
27	0.030934	22.7444	
28	0.033107	22.377	
29	0.035362	21.9811	
30	0.037742	21.448	
31	0.040136	20.8604	
32	0.042489	20.4012	
33	0.044836	19.986	

<u>'</u>			
Experimental			
	ες	σς	
1	0	0	
2	0.00053	10.3755	
3	0.001065	175182	
4	0.001598	22.1675	
5	0.00213	25.1502	
6	0.002663	27.0493	
7	0.003196	28.2419	
8	0.003728	28.9680	
9	0.004261	29.3818	
10	0.004794	29.5836	
11	0.005326	29.6400	
12	0.00753	20.0959	
13	0.009732	28.1192	
14	0.011938	27.1023	
15	0.014142	26.1428	
16	0.016364	25.2798	
17	0.018549	24.4960	
18	0.020753	23.7885	
19	0.022957	23.1481	
20	0.025161	22.5659	
21	0.029569	21.5427	



Gambar 4.5 Perbandingan RCH T 8 FEM dan Experimental

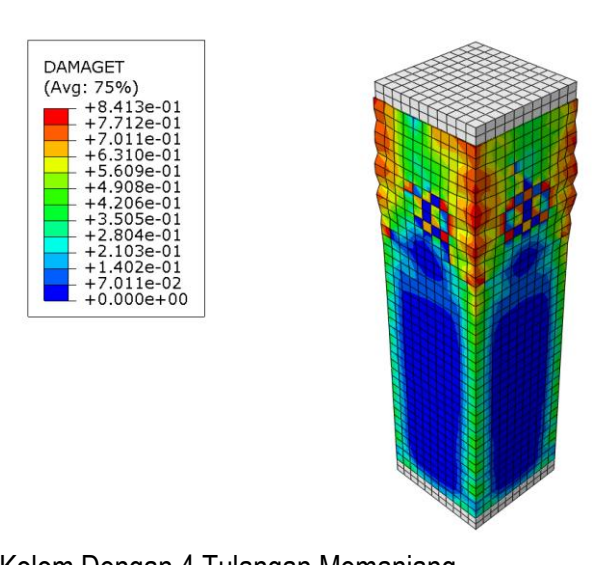
Pada gambar 4.5 terlihat grafik tegangan regangan dari dari model kolom dengan jumlah tulangan utama 8 hasil dari experimental dan hasil dari *Finnite Element Analisis*. berdasarkan dari hasil experimental, tegangan puncak sebesar 29,64 Mpa dan regangannya 0,00532 mm sementara hasil simulasi tegangan puncak 30,51 Mpa dan regangan 0,005595 mm. Sebelum tercapainyan beban ultimate tegangan regangan kuat beton dalam kondisi yang linier adalah tercapainya beban ultimate bersifat nonlinier dimana beban beban menurun dan beban terus bertambah, diakhir pembebanan nilai yang dikeluarkan mendekati dengan hasil experimental.



Gambar 4.6 Perbandingan pola retak Exprimental dan FEM (RCHT8)

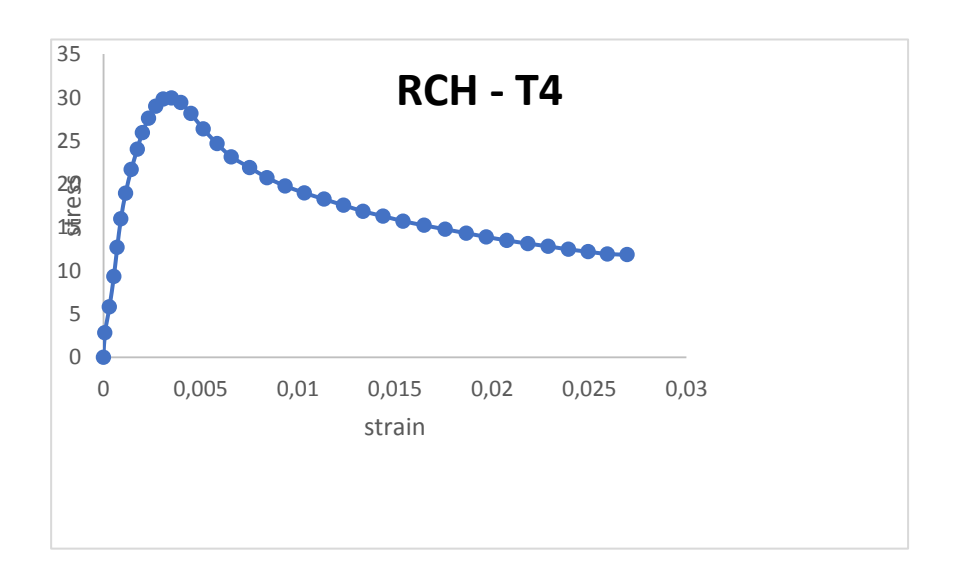
Untuk perbandingan pola retak yang terjadi pada kolom persegi dengan jumlah 8 tulangan utama terjadi keretakan pada permukaan kolom. Sedangkan bagian dalamnya hanya mengalami sedikit keretakan, hal ini juga didapati kemiripan dengan hasil yang diperoleh dari *Finnite Element Methode*.

4.2.3 Hasil Kolom FEM



A. Kolom Dengan 4 Tulangan Memanjang

Gambar 4.7 Kolom 4 Tulangan Memanjan



Tabel 4.5 Tegangan Regangan Kolom 4 Tulangan Memanjang

	RCH – T4		
1	0	0	
2	0.0000803	2.829921	
3	0.000309	5.803667	
4	0.000538	9.339306	

22	0.009348	19.7771
23	0.010341	18.98003
24	0.011353	18.24589
25	0.012364	17.54791

43	0.03093	11.64986
44	0.031908	11.56515
45	0.032895	11.51506
46	0.033904	11.47074

5	0.00071	12.69474
6	0.0009	15.97221
7	0.00114	18.93622
8	0.001435	21.68025
9	0.001744	24.02338
10	0.002003	25.92853
11	0.002321	27.57589
12	0.002691	28.98289
13	0.003076	29.80425
14	0.003509	29.94333
15	0.003982	29.40187
16	0.0045	28.13395
17	0.005132	26.36384
18	0.005846	24.6513
19	0.006582	23.13946
20	0.007519	21.90709
21	0.008418	20.73175

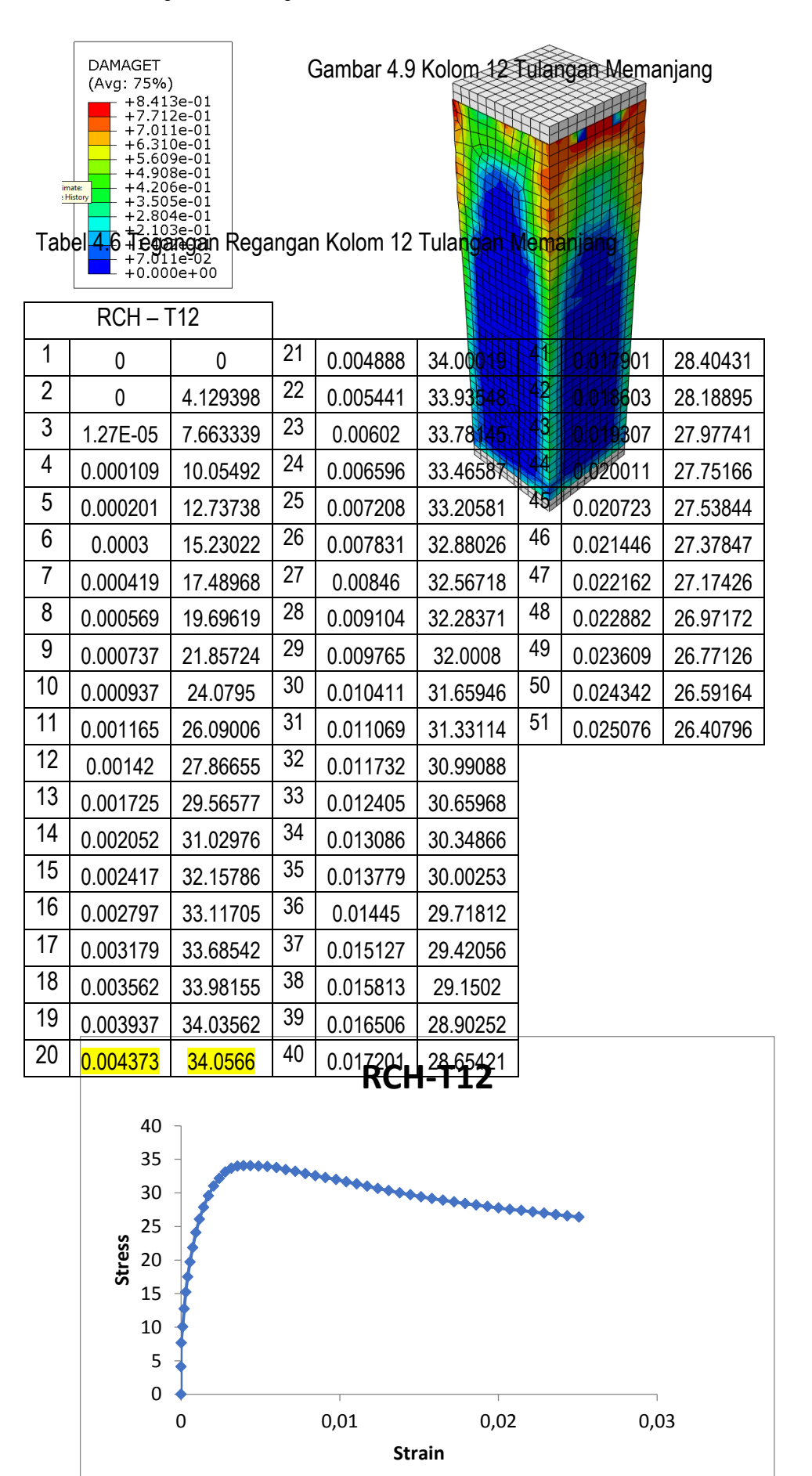
26	0.013363	16.85014
27	0.014386	16.29724
28	0.015423	15.70956
29	0.016509	15.22487
30	0.017585	14.77433
31	0.018666	14.32603
32	0.019701	13.89235
33	0.020752	13.49159
34	0.021838	13.12673
35	0.022879	12.80638
36	0.023922	12.45615
37	0.024945	12.18735
38	0.025935	11.9201
39	0.026947	11.84793
40	0.027958	11.76021
40	0.028945	11.74282
42	0.029935	11.73663

47	0.034877	11.35684
48	0.035851	11.28591
49	0.036801	11.22508
50	0.037745	11.19415
51	0.038695	11.15928

Gambar 4.8 Tegangan Regangan Kolom 4 Tulangan Memanjang

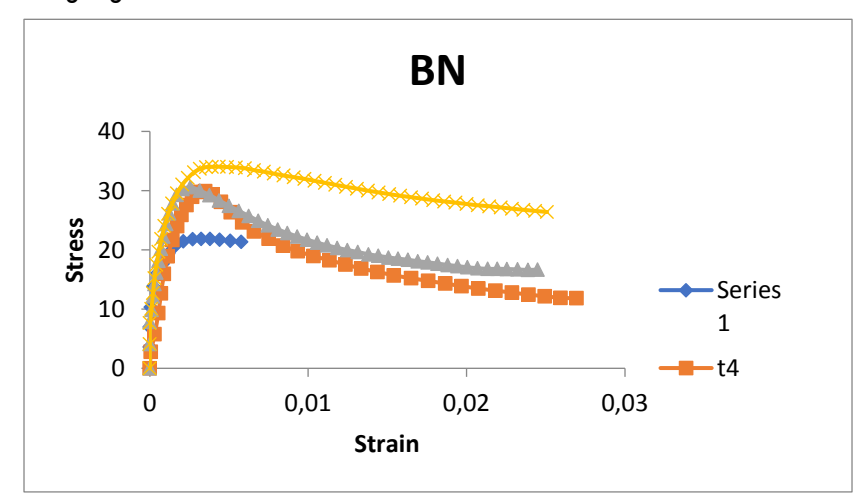
Pada gambar 4.8 dapat kita ketahui diagram tegangan regangan tekan beton kolom dengan 4 tulangan memanjang yang terjadi pada saat menerima beban, dari gambar terihat kuat tekan ultimate beton 29,94 Mpa sementara regangan ultimate beton 0,0035 mm. Dari grafik tersebut terlihat perilaku beton beton diawal pembebanan tegangannya meningkat dan diakibatkan menerima beban terlebih dahulu sampai akhirnya mengalami keruntuhan akibat tegangan yang semakin meningkat, sebelum tercapainya beban ultimate tegangan regangan kuat tekan beton dalam kondisi yang linier setelah tercapainya beban ultimate bersifat nonlinier dimana beban menurun sementara regangan terus bertambah.

B. Kolom Dengan 12 Tulangan Utama



Gambar 4.10 Tegangan Regangan Kolom 12 Tulangan Memanjang

Pada gambar 4.10 dapat kita ketahui diagram tegangan regangan tekan beton kolom dengan 12 tulangan memanjang yang terjadi pada saat menerima beban, dari gambar terihat kuat tekan ultimate beton 34,05 Mpa sementara regangan ultimate beton 0,0043 mm. Dari grafik tersebut terlihat perilaku beton beton diawal pembebanan tegangannya meningkat dan diakibatkan menerima beban terlebih dahulu sampai akhirnya mengalami keruntuhan akibat tegangan yang semakin meningkat, sebelum tercapainya beban ultimate tegangan regangan kuat tekan beton dalam kondisi yang linier setelah tercapainya beban ultimate bersifat nonlinier dimana beban menurun sementara regangan terus bertambah.



Gambar 4.11 Grafik Gabungan Tegangan Regangan Kolom.

Pada gambar 4.11 dilihat grafik tegangan regangan dari gabungan 4 model kolom yang disimulasikan, dari grafik tersebut dapat dilihat perbedaan puncak tegangan regangan yang terjadi pada kolom, sebelum tercapainya beban ultimate tegangan regangan kuat tekan beton dalam kondisi linier, setelah tercapainya beban tekan ultimate bersifat nonlinier dimana beban menurun dan regangan terus bertambah, diakhir pembebanan nilai yang dikeluarkan mendekati dengan hasil experimental. Grafik yang didapatkan dari hasil simulasi menunjukkan bahwa semakin banyak jumlah tulangan utama maka semakin tinggi nilai tegangan regangan yang didapatkan.

Dari hasil pemodelan yang didapat , perilaku linier menunjukkan bahwa hubungan antara beban dan respons struktural seperti tegangan, regangan adalah proporsional secara langsung. Kolom yang dimodelkan dalam kondisi linier mengikuti hukum Hooke, dimana respons struktural terhadap beban berperilaku linier dan elastis. tanpa mempertimbangkan plastis atau deformasi yang signifikan. Sedangkan pada nonlinier memperhitungkan perubahan sifat material yang tidak linier seperti perubahan kekakuan, plastis yang signifikan ketika kolom memasukan zona plastis, hubungan antara beban dan respons strukturalnya menjadi nonlinier. Sebagai contoh dalam konteks material, perilaku plastis sebuah material adalah contoh nonlinier dimana hubungan antara tegangan dan regangan tidak lagi bersifat linier setelah melewati batas elastis.

BAB V

KESIMPULAN DAN SARAN

5.1 Kesimpulan

- a. Dari hasil simulasi menggunakan program Abaqus 6.14 kolom B,C,D menunjukan pengaruh jumlah tulangan memanjang jika semakin banyak tulangan memanjang pada kolom maka semakin tinggi nilai tegangan regangan yang didapat. Dari hasil penelitian software yang didapat dengan membandingkan hasil pada experimental maka diperoleh perilaku tegangan dan regangan Kolom A (Kolom Polos) didapatkan kuat tekan ultimate beton sebesar 21,87 Mpa dan regangan ultimate 0,0032 mm. berdasarkan hasil dari experimental, tegangan puncak adalah 22,24 Mpa dan regangan 0,0020. Perilaku material yang digunakan pada FEM menggunakan pendekatan teoritis sehingga menyebabkan sedikit perbedaan dengan hasil experimental, namun diakhir pembebanan nilai yang dikeluarkan mendekati dengan hasil experimental. Kemudian Tegangan regangan yang terjadi saat beban puncak pada Kolom C (8 tulangan memanajang) didapatkan kuat tekan ultimate beton 30,51 Mpa dan regangan ultimate 0,0055 dan hasil dari experimental, tegangan puncak adalah 29,64 Mpa dan regangan 0,00532.
- b. Pola retak pada kolom A bisa dikatakan serupa dengan adanya retak garis dan untuk Kolom C retak pada permukaan sisi kolom dan bagian dalamnya hanya mengalami sedikit kerusakan ini mewakili kerusakan yang terjadi pada hasil uji experimental.

5.2 Saran

Berdasarkan hasil penelitian dan pembahasan mengenai pemodelan variasi rasio tulangan memanang pada kolom persegi ada beberapa saran yang dapat diberikan antara lain adalah

- Dalam pemodelan, sebaiknya menggunakan ukuran mesh yang lebih halus sehingga dapat memberikan hasil dan visual yang lebih baik.
- Dalam memodelkan kolom persegi sebaiknya menggunakan perangkat komputer yang memadai sehingga proses simulasi jauh lebih cepat.

DAFTAR PUSTAKA

- Arfiadi, Yoyong. "Diagram interaksi perancangan kolom dengan tulangan pada empat sisi berdasarkan SNI 2847: 2013 dan ACI 318M-11." *Jurnal Teknik Sipil* 13.4 (2016): 268-290.
- Asroni, A., 2010. Kolom Fondasi dan Balok T Beton Bertulang, Graha Ilmu,
- Dominggus, Bakarbessy., 2008. Efektifitas Pengekangan Fine Mash Pada Kolom Persegi Beton Bertulang
- Fakultas Teknik Universitas Khairun, 2008, *Panduan Skripsi Dan Kerja Praktek Fakultas Teknik*, Penerbit Universitas Khairun. Ternate.
- Kurniawan, Aan. (2018). *Analisis Perilaku Struktur Balok Beton Bertulang Dengan Perkuatan Lembaran Gfrp Menggunakan Software Abaqus 6.14*. Semarang: Universitas Negeri Semarang.
- Lee, J., & Fenves, G.L. (1998). *Plastic-Damage Model For Cyclic Loading of Concrete Structures*. J. Eng. Mech., 10.1061/(ASCE)0733-9399(1998)124:8(892), 892-900.
- Logan, D. L., Logan, D. L., Veitch, E., Carson, C., Burrell, K. R., Gould, V., & Wagner, E. (n.d.). A First Course in the Finite Element Method Fourth Edition
- Metwally, I. M., & Metwally, I. M. (2019). Three-dimensional nonlinear finite element analysis of concrete deep beam reinforced with GFRP bars Three-dimensional nonlinear finite element analysis of concrete deep beam reinforced with GFRP bars. HBRC Journal, 13(1), 25–38. https://doi.org/10.1016/j.hbrcj.2015.02.006
- Mubarok, Husni. (2019). Finite Element Analysis Perilaku Beton Bertulang Dan Beton Prategang Menggunakan Software Abaqus 6.14. Semarang: Universitas Negeri Semarang.
- Nasution, Amrun, and Mukhlis Islam. "Analisis Kolom Beton Bertulang Pada Penampang Persegi Berlubang." *Inersia: Jurnal Teknik Sipil* 11.1 (2019): 19-26.
- Nawy, Edward G., (2003), "Reinforced Concreted A Fundamental Approach" (Fifth Edition), Prentice-Hall International, New Jersey.
- Nawy, G, Edward., 1990,"Reinforced Concrete A Fundamental Approach", United States of America.
- Nguyen, Q. T., & Livaoğlu, R. (2020). The effect of the ratio of Λ-shaped shear connectors on the flexural behavior of a reinforced concrete frame. Advances in Structural Engineering, 23(12), 2724-2740.

- November « 2011 « Material Teknik. (n.d.). Retrieved February 11, 2022, from http://blog.ub.ac.id/andi/2011/11/
- November « 2011 « Material Teknik. (n.d.). Retrieved February 11, 2022, from http://blog.ub.ac.id/andi/2011/11/
- Park, R. & Paulay, T. (1975). *Reinforced Concrete Structures*. John Wiley and Sons, Inc, Canada.
- PBI. (1971). *Peraturan Beton Bertulang Indonesia*. Bandung : Departemen Pekerjaan Umum dan Tenaga Listrik.
- Preprocessing, simulation, and postprocessing. (n.d.). Retrieved February 27, 2022, from https://abaqus-docs.mit.edu/2017/English/SIMACAEGSARefMap/simagsa-c-abspresimulationpost.htm
- sni 03-2847 tahun 2002 Penelusuran Google. (n.d.). Retrieved February 4, 2022, from https://www.google.com/search?q=sni+03-2847+tahun+2002&oq=SNI+03&aqs=chrome.8.69i57j0i512l9.13394j0j7&sourcei d=chrome&ie=UTF-8
- SNI 2052. (2017). Baja Tulangan Beton. Jakarta: Standar Nasional Indonesia.
- SNI 2847. (2013). Persyaratan Beton Struktural Untuk Bangunan Gedung. Jakarta: Standar Nasional Indonesia.
- Surahman, Ridho. (2020). Analisis Elemen Hingga Pada Balok Beton Bertulang Dengan Perkuatan Gfrp (Glass Fiber Reinforced Polymer) Menggunakan Software. Lampung: Universitas Lampung.
- Tavio, T. & Tata, A. (2009). Predicting Nonlinear Behavior and Stress-Strain Relationship of Rectangular Confined Reinforced Concrete Columns with ANSYS. Civil Engineering Dimension.
- Wang & Salmon. (1993). Desain Beton Bertulang (p. 502).
- Zangeneh Kamali, A. (2012). Shear strength of reinforced concrete beams subjected to blast loading: Non-linear dynamic analysis.